

FIG. 1

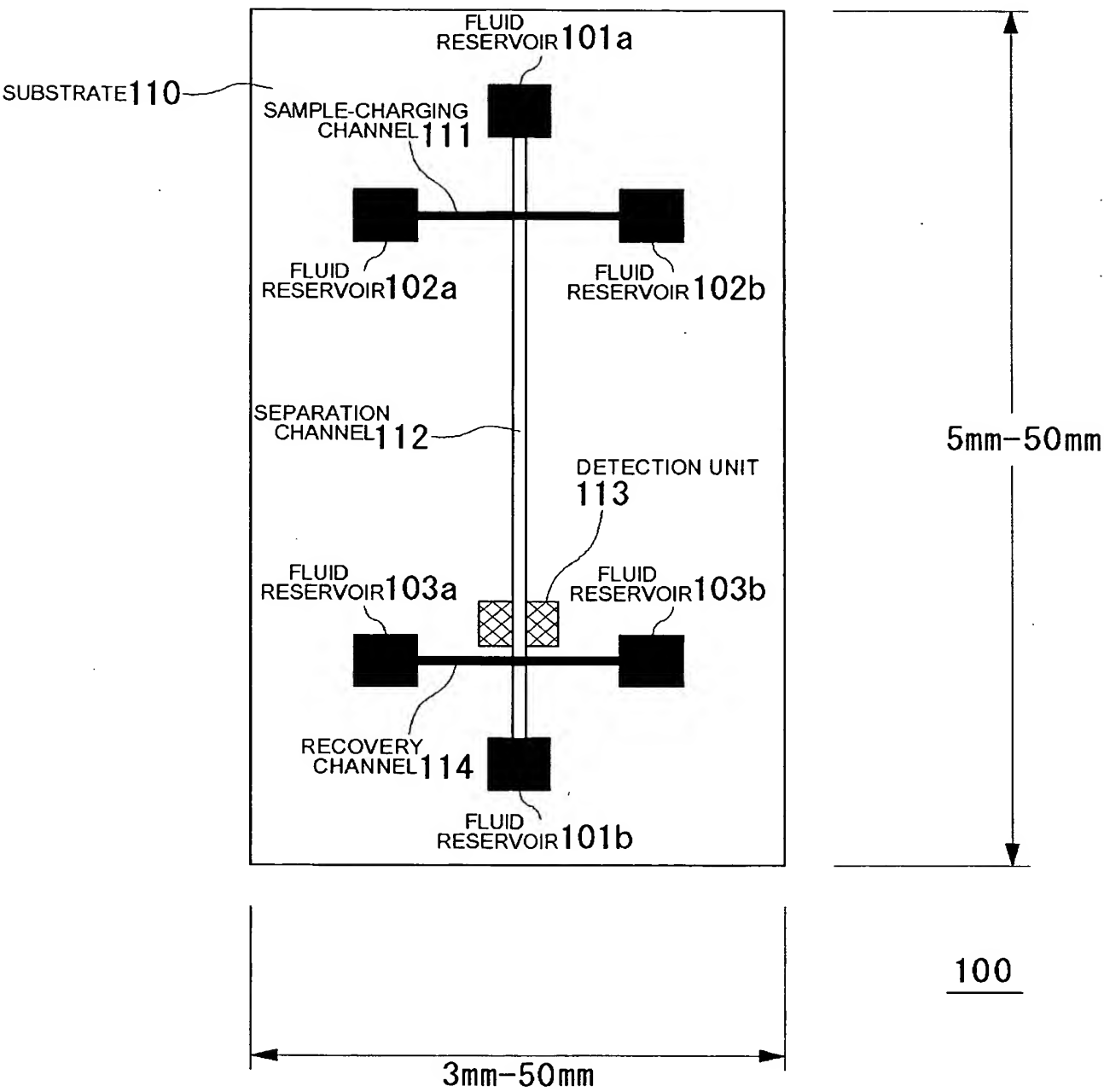


FIG. 2

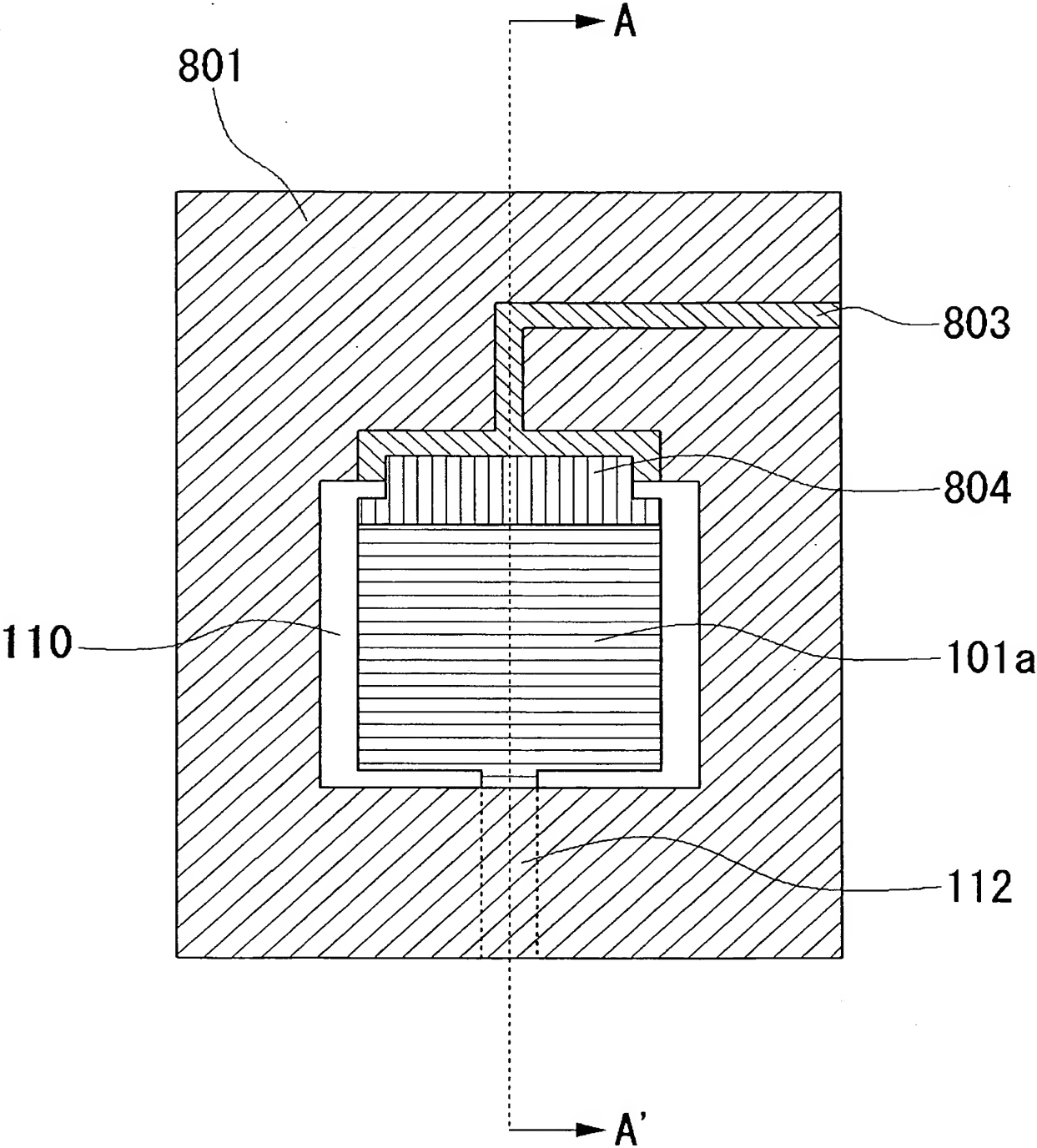


FIG. 3

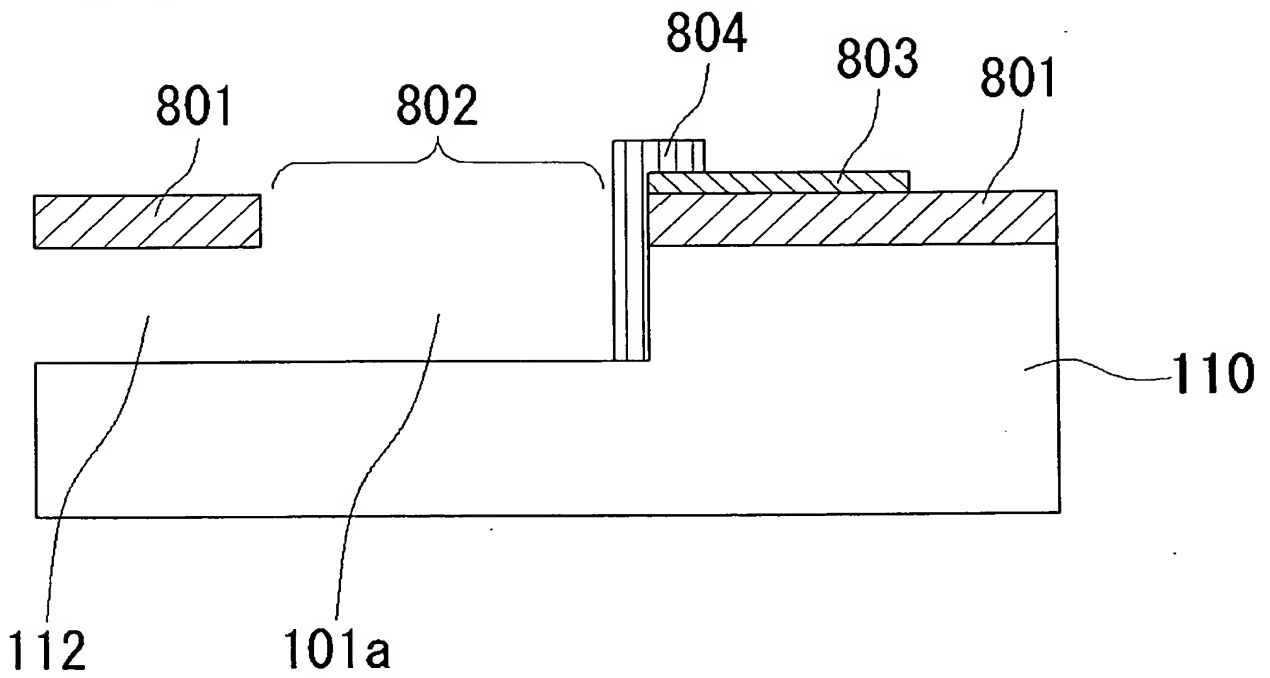
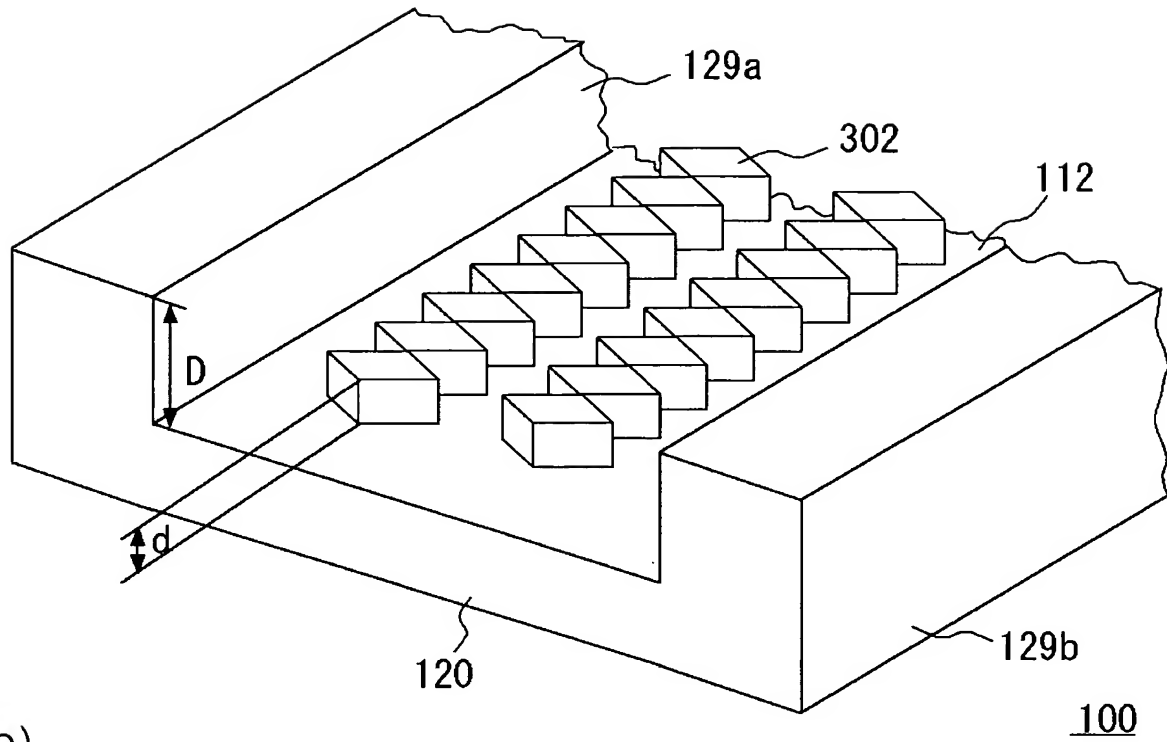


FIG. 4

(a)



(b)

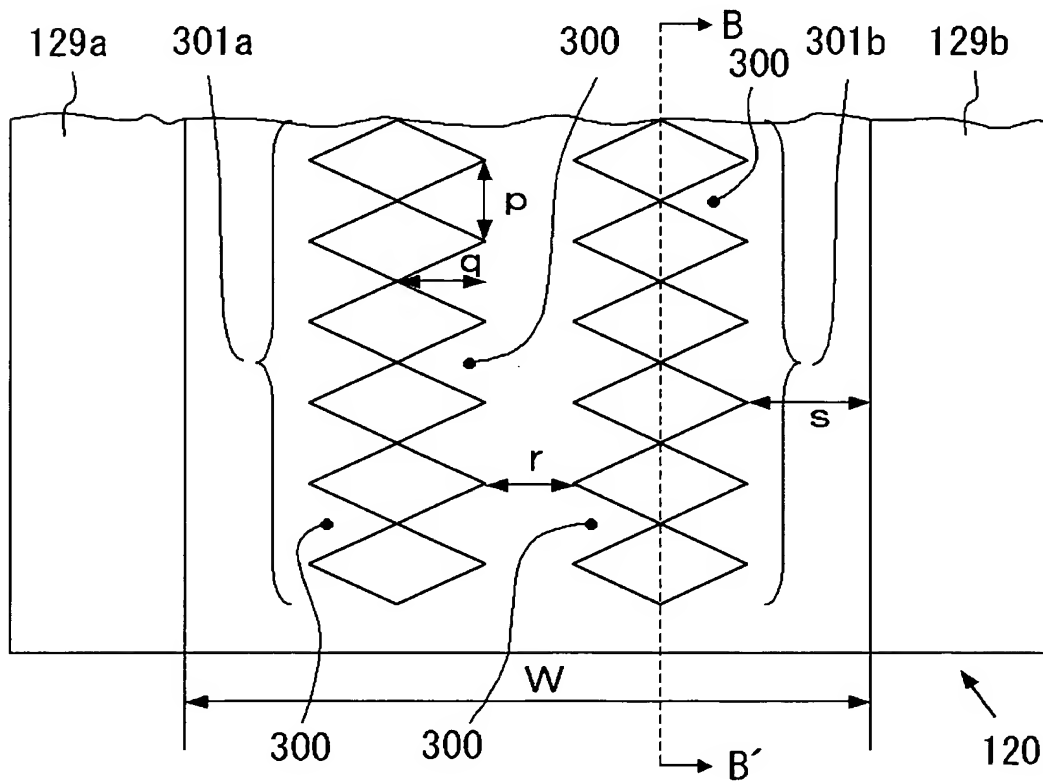


FIG. 5

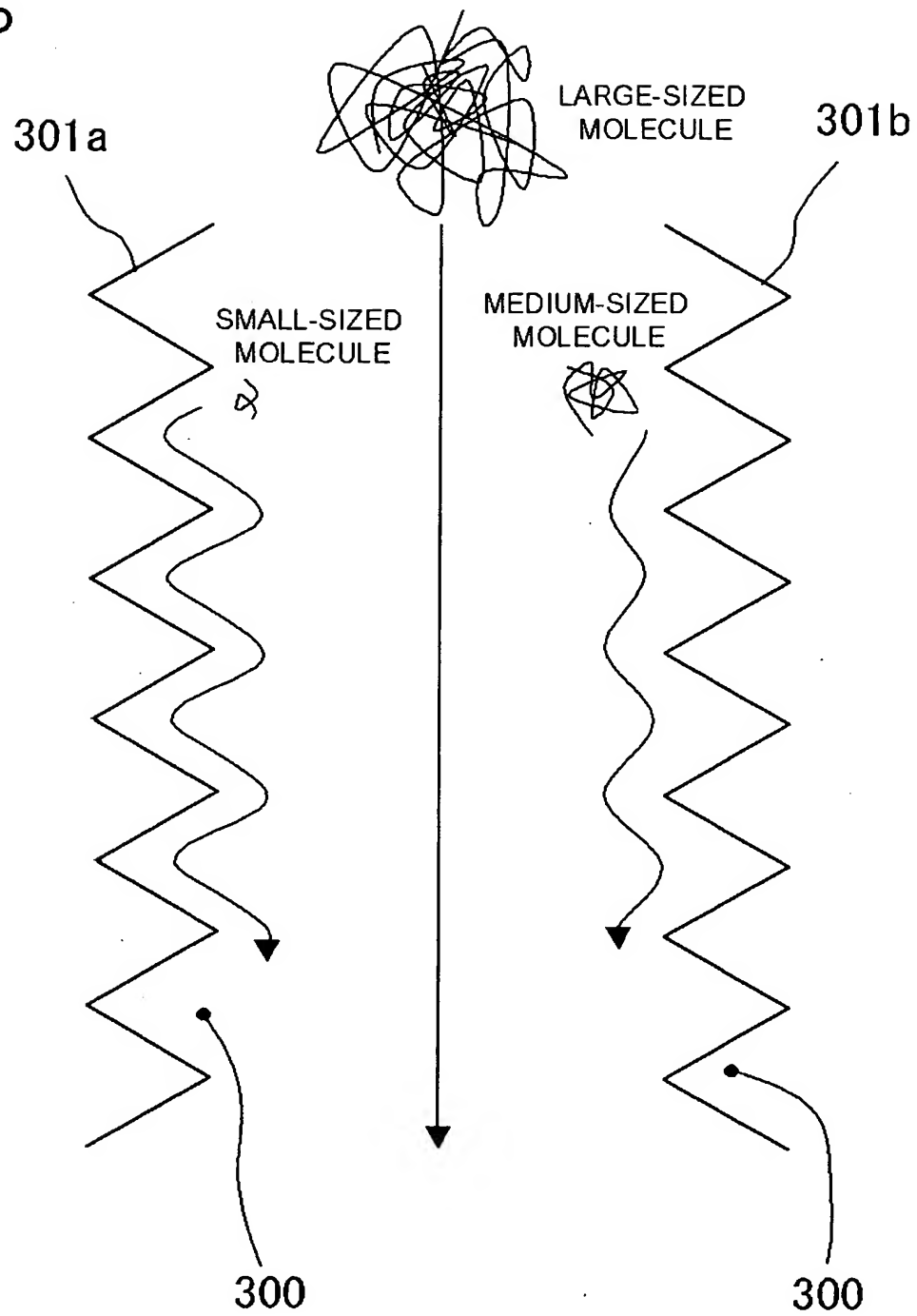


FIG. 6

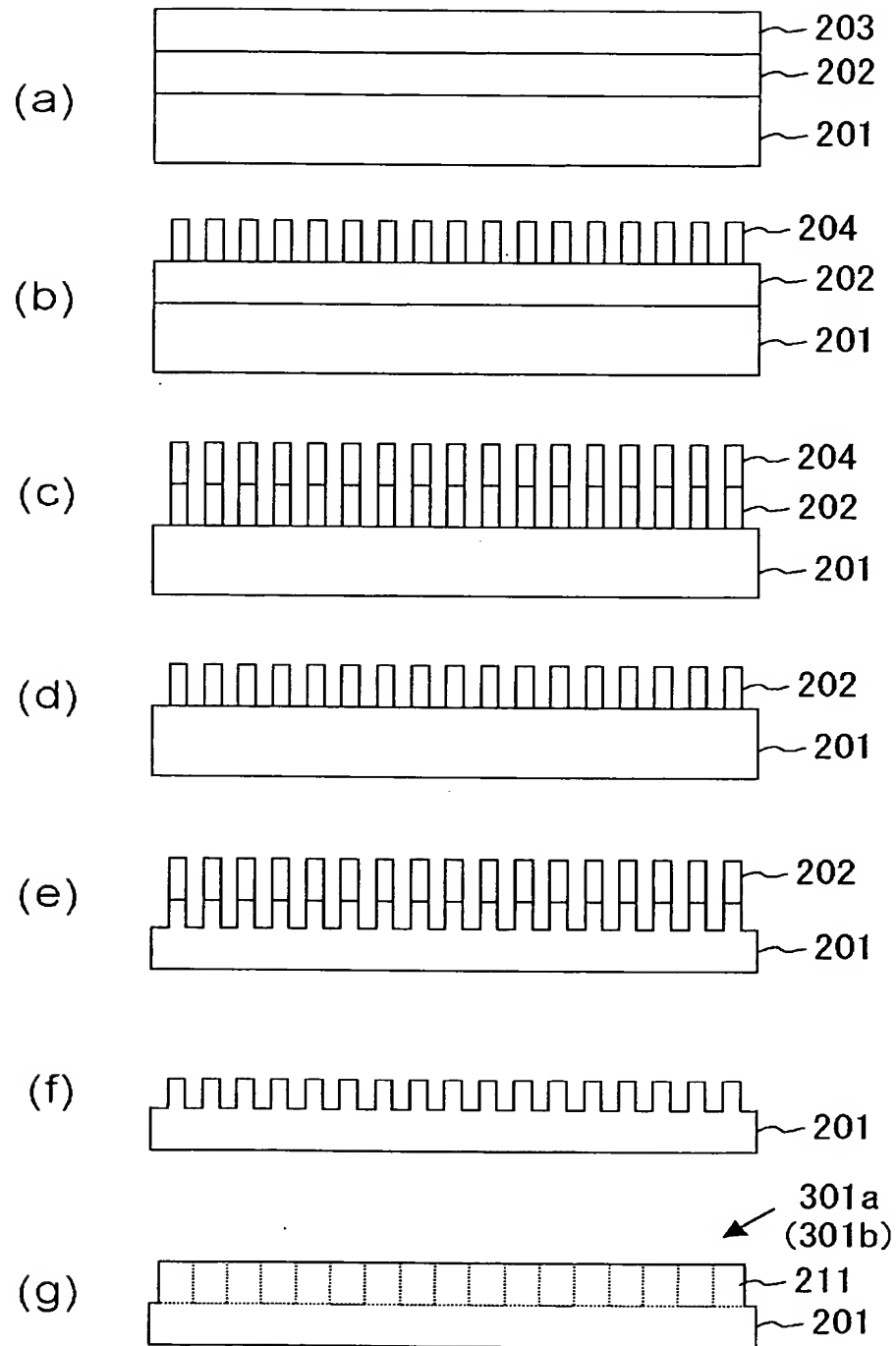


FIG. 7

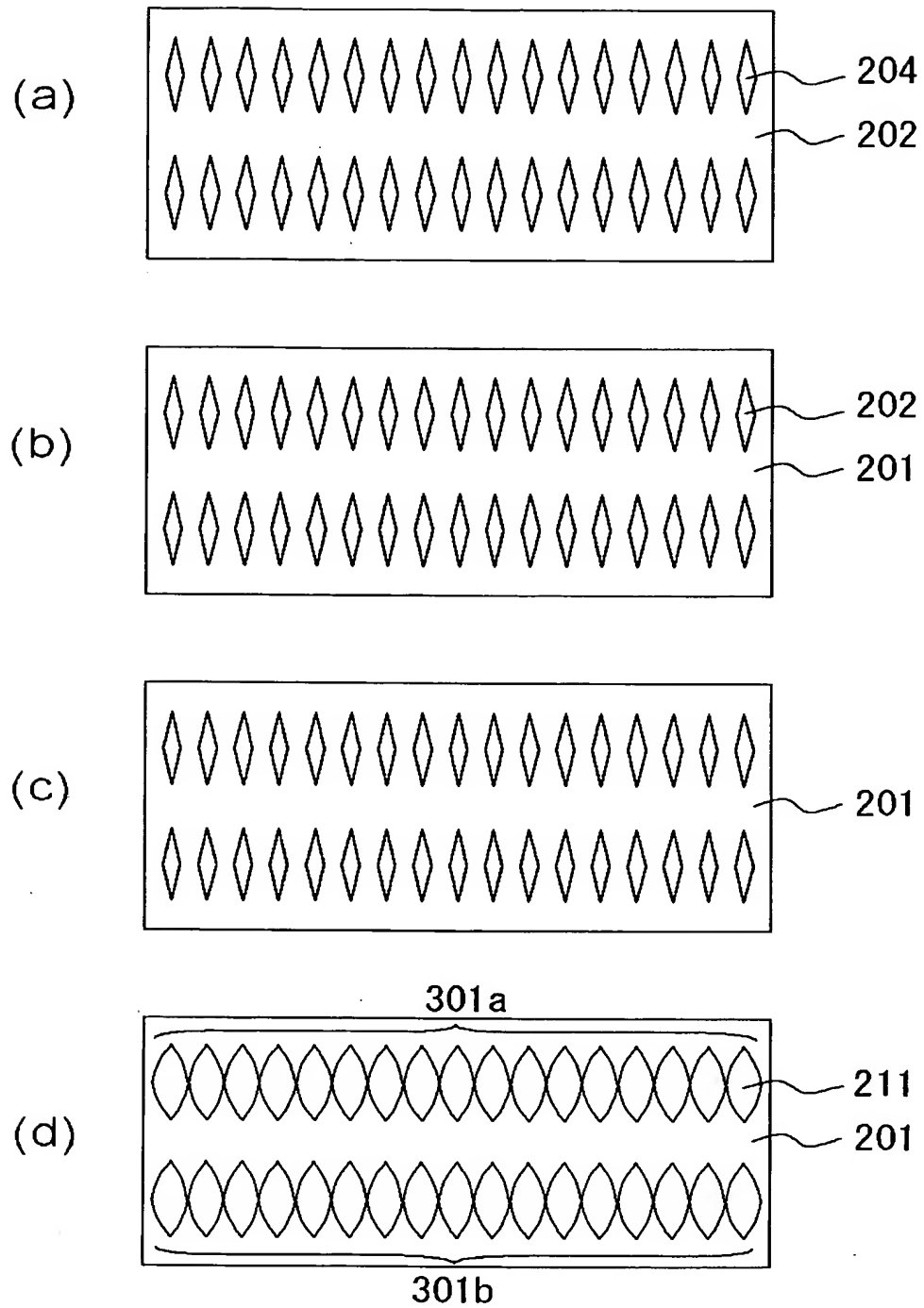


FIG. 8

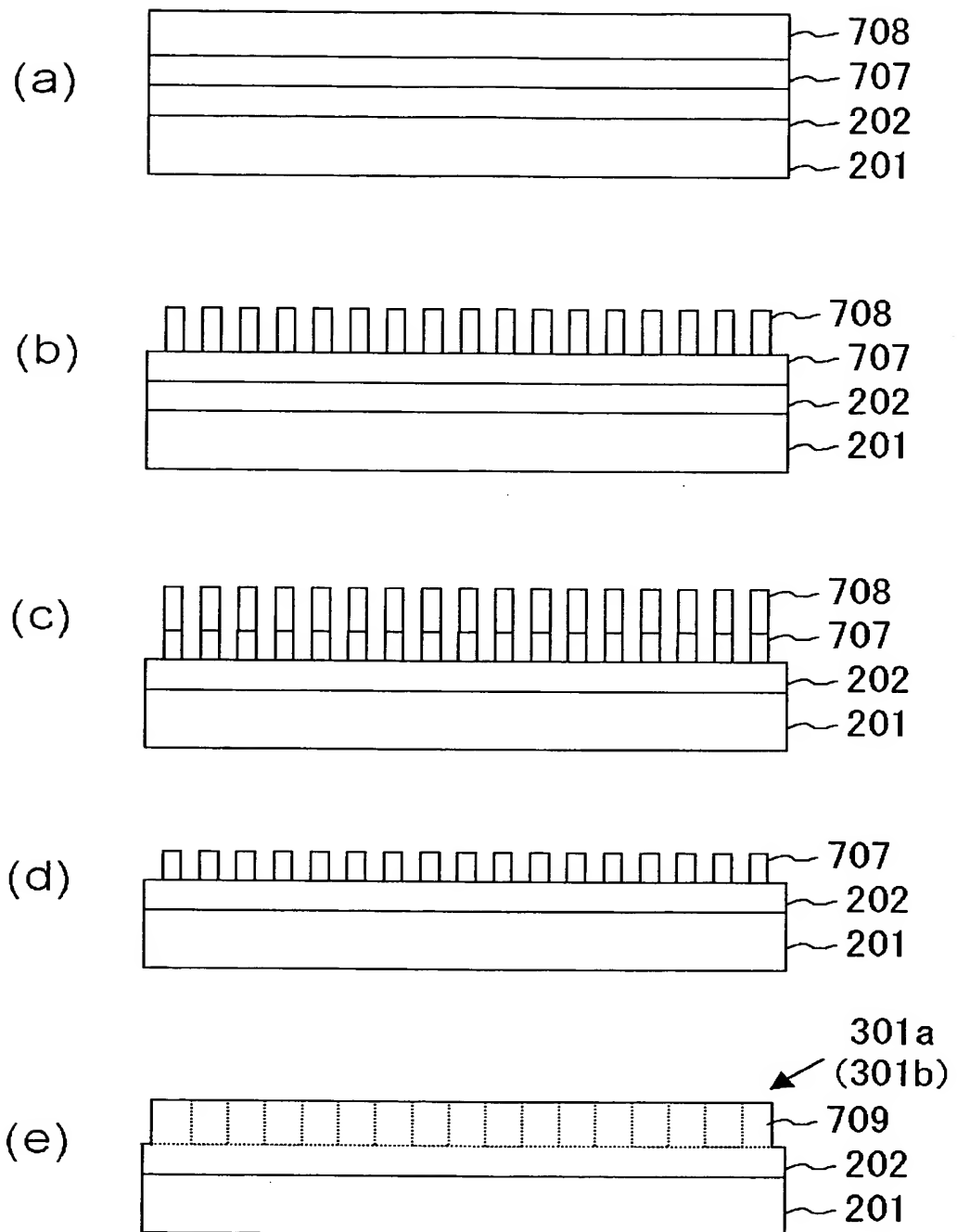


FIG. 9.

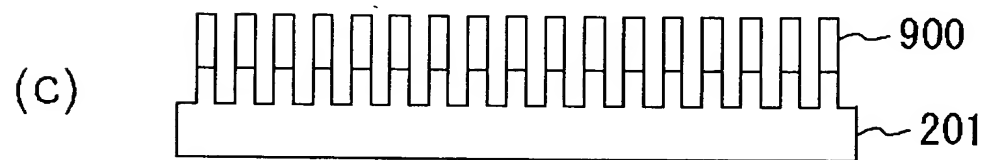
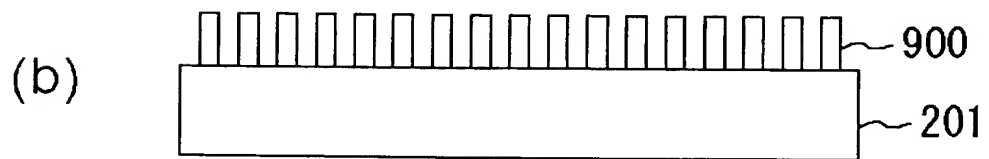
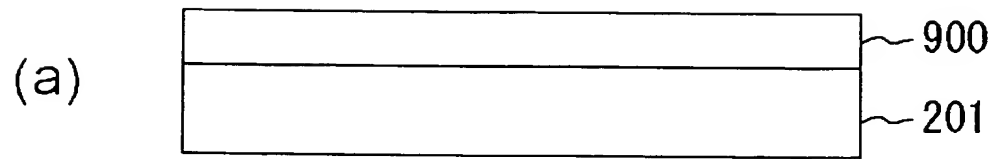


FIG. 10

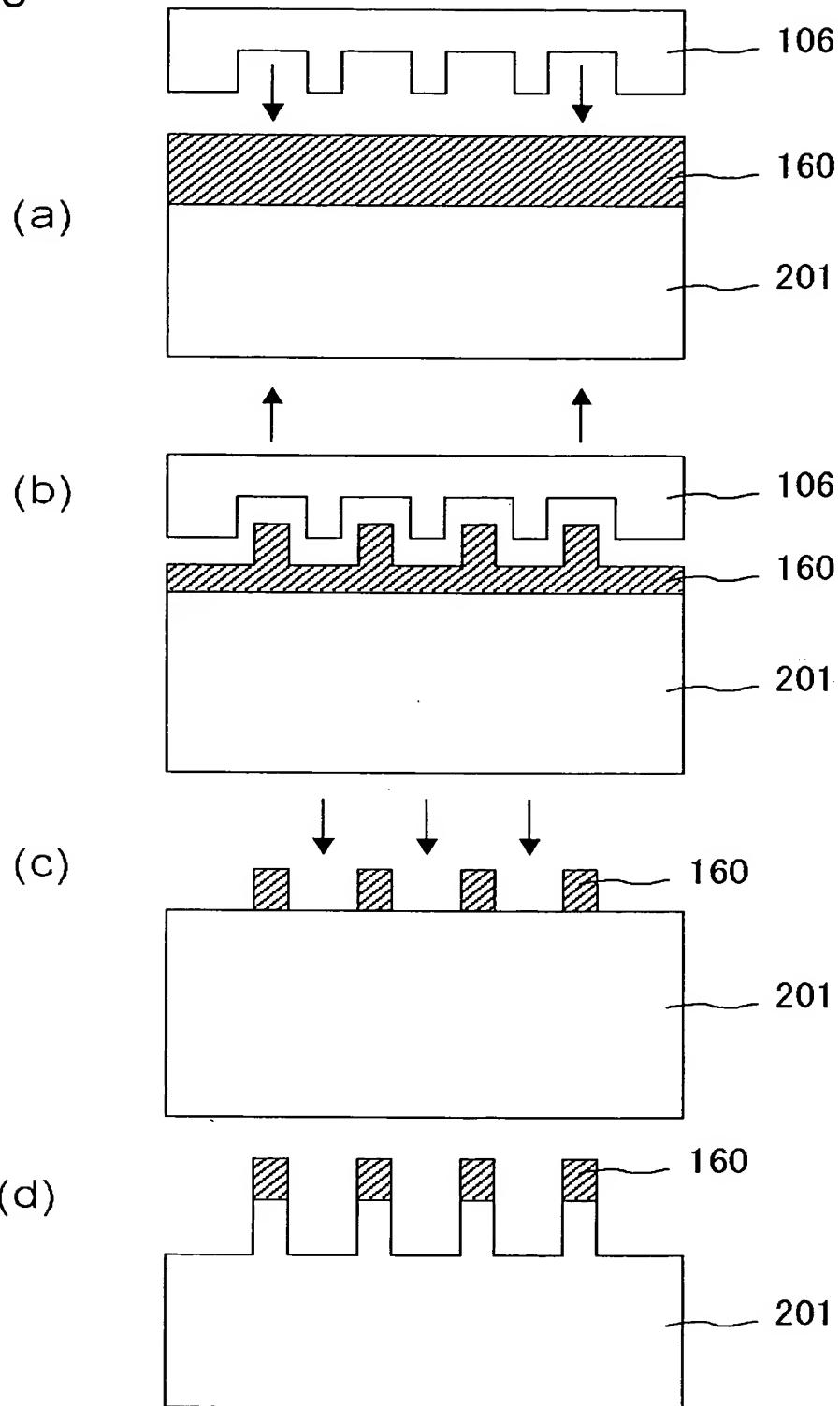


FIG. 11

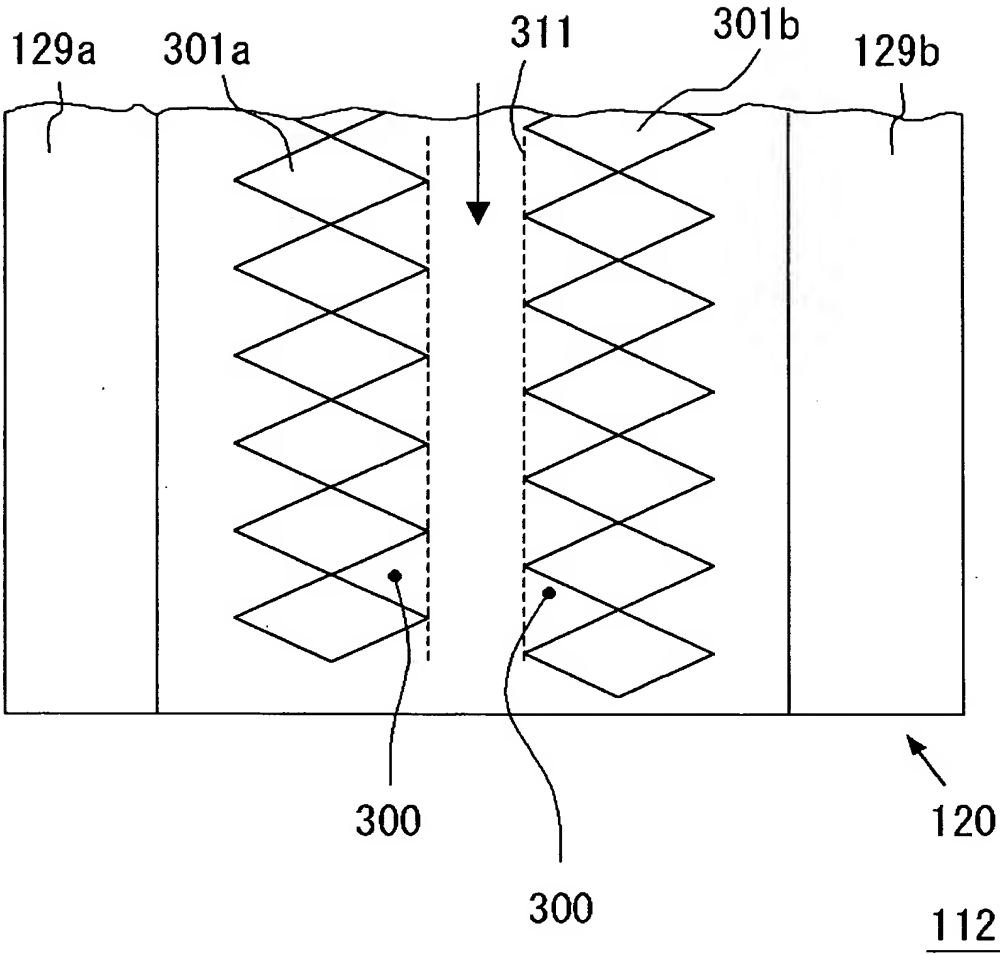


FIG. 12

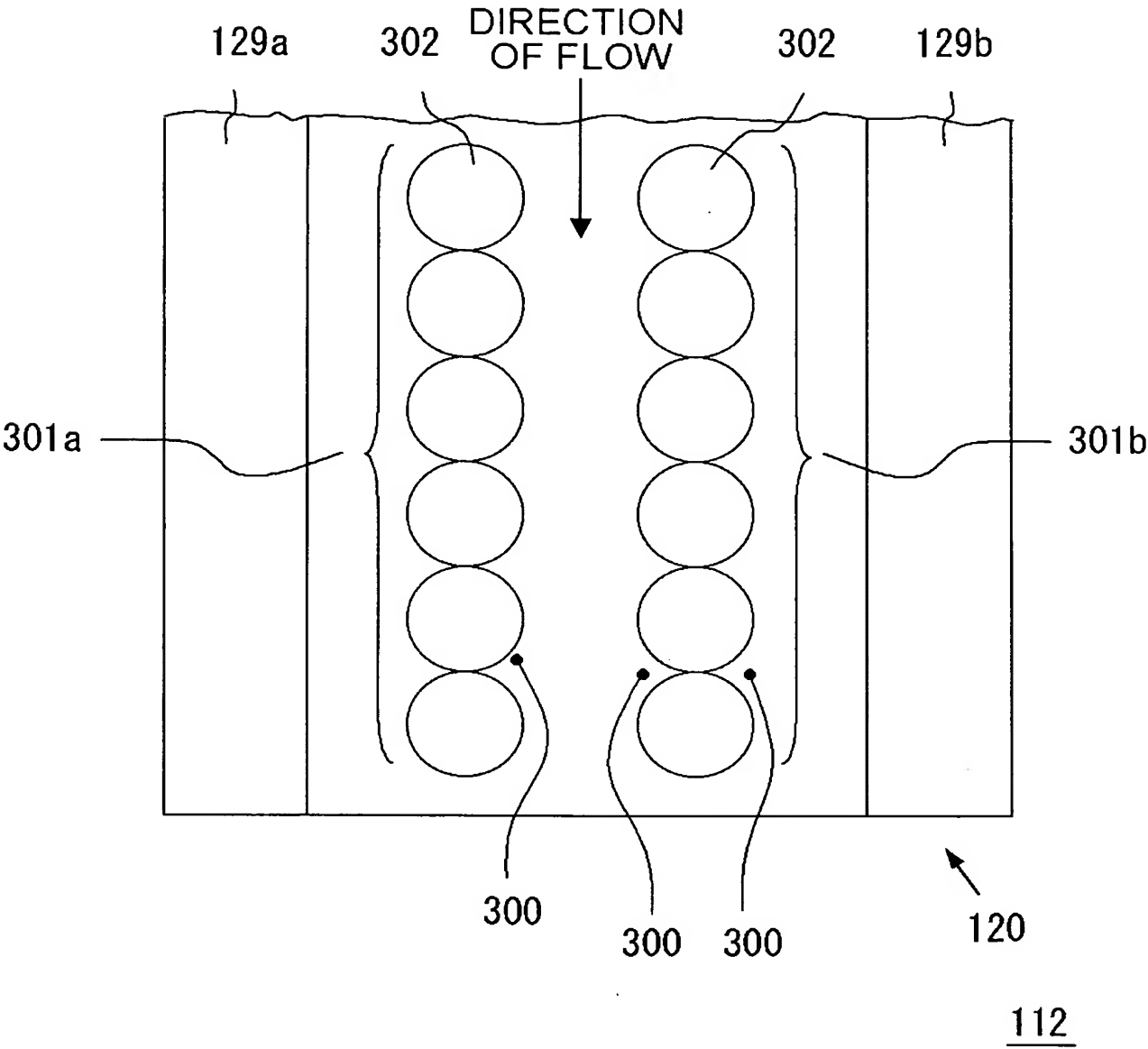


FIG. 13

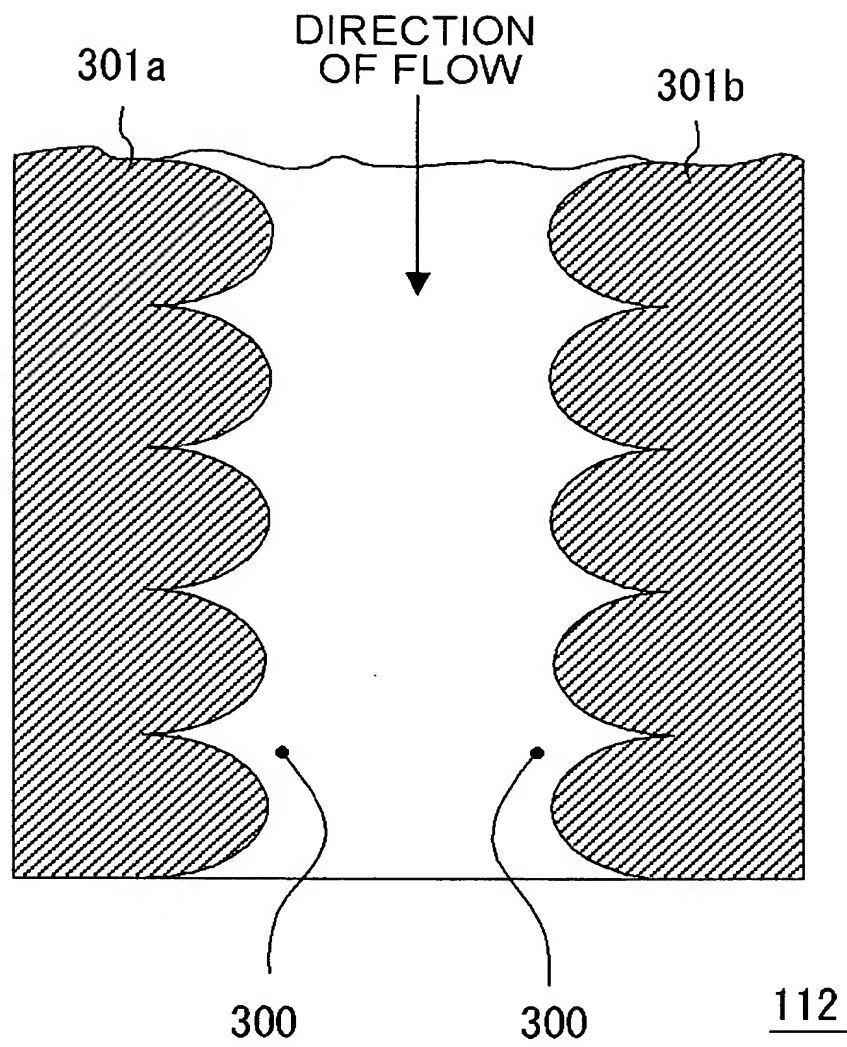


FIG. 14

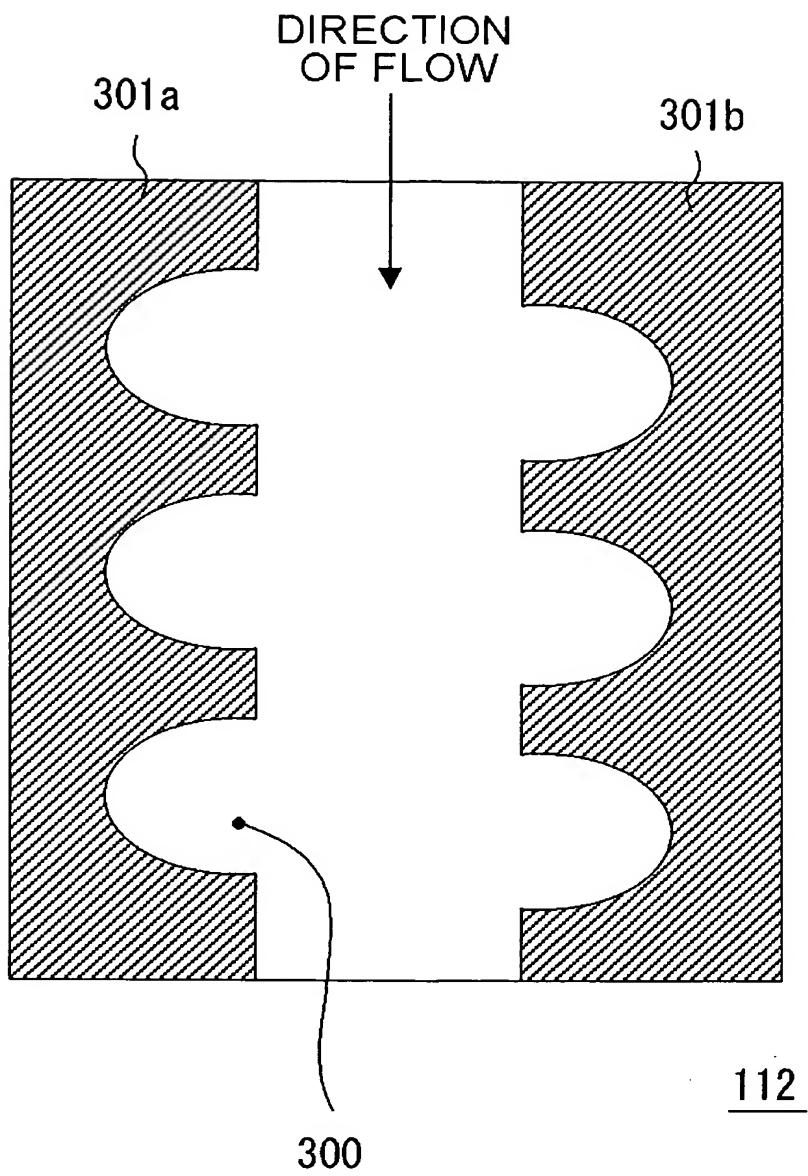


FIG. 15

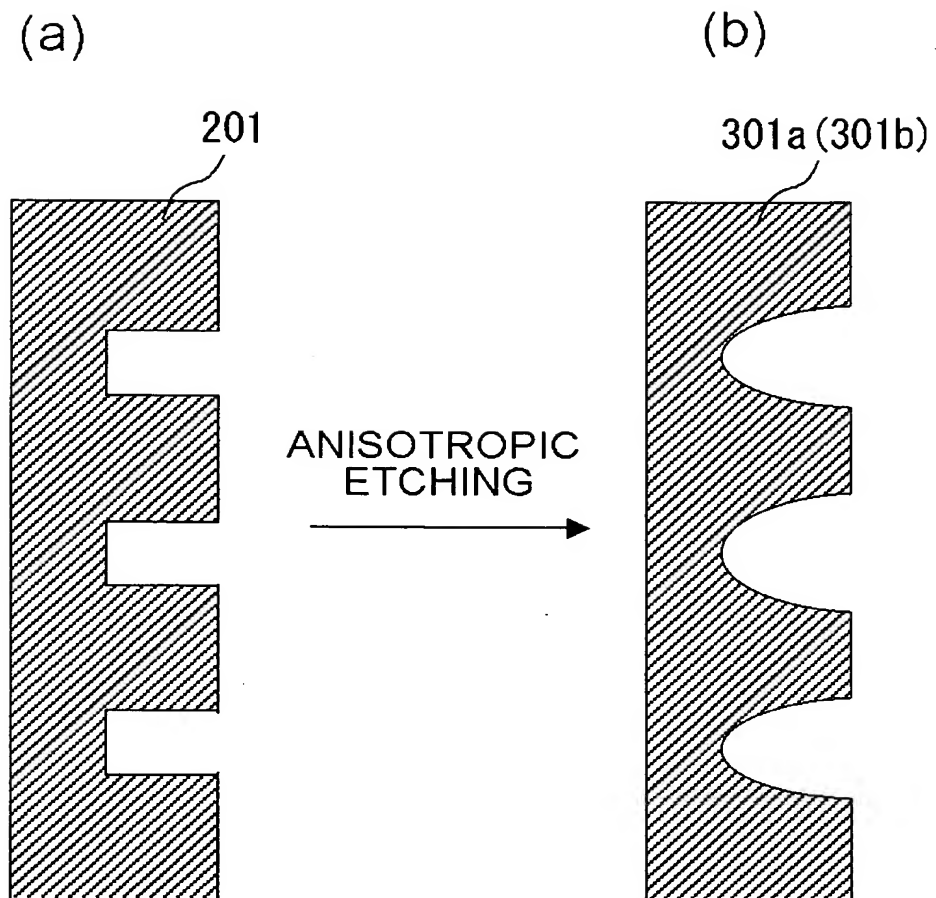


FIG. 16

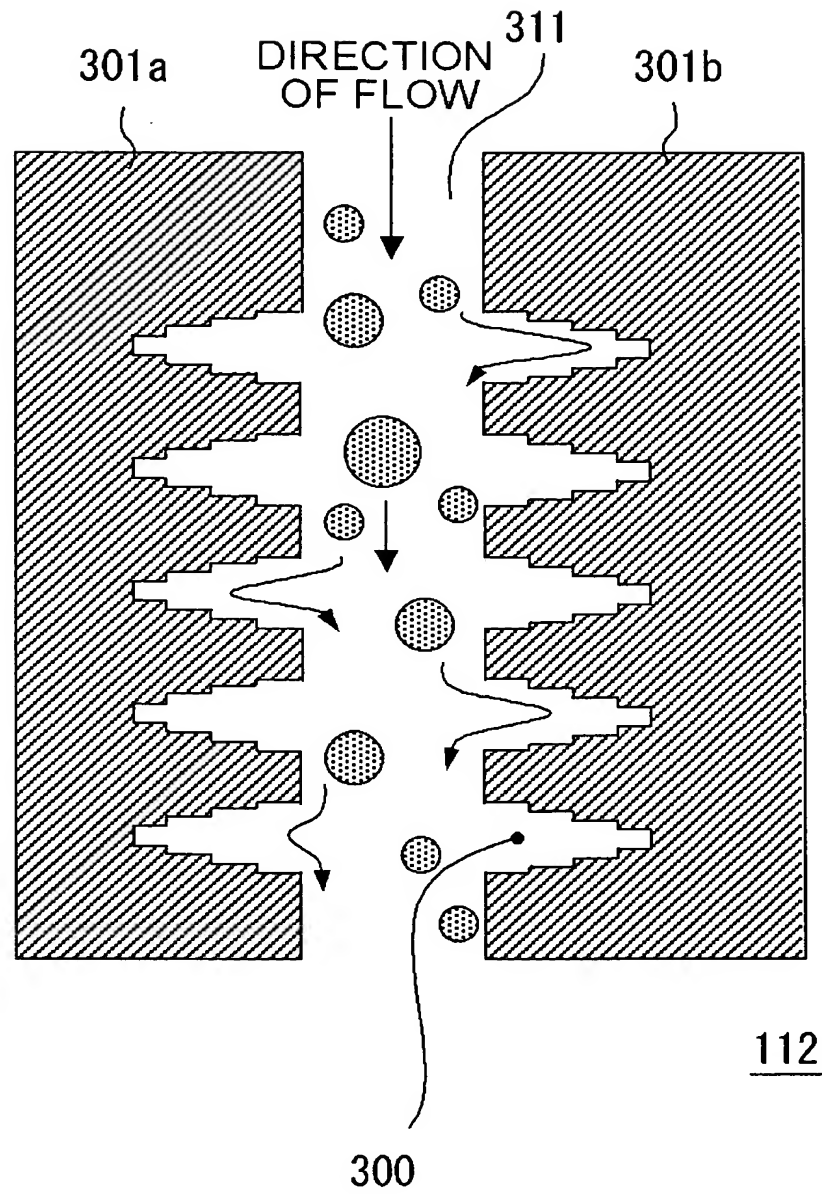


FIG. 17

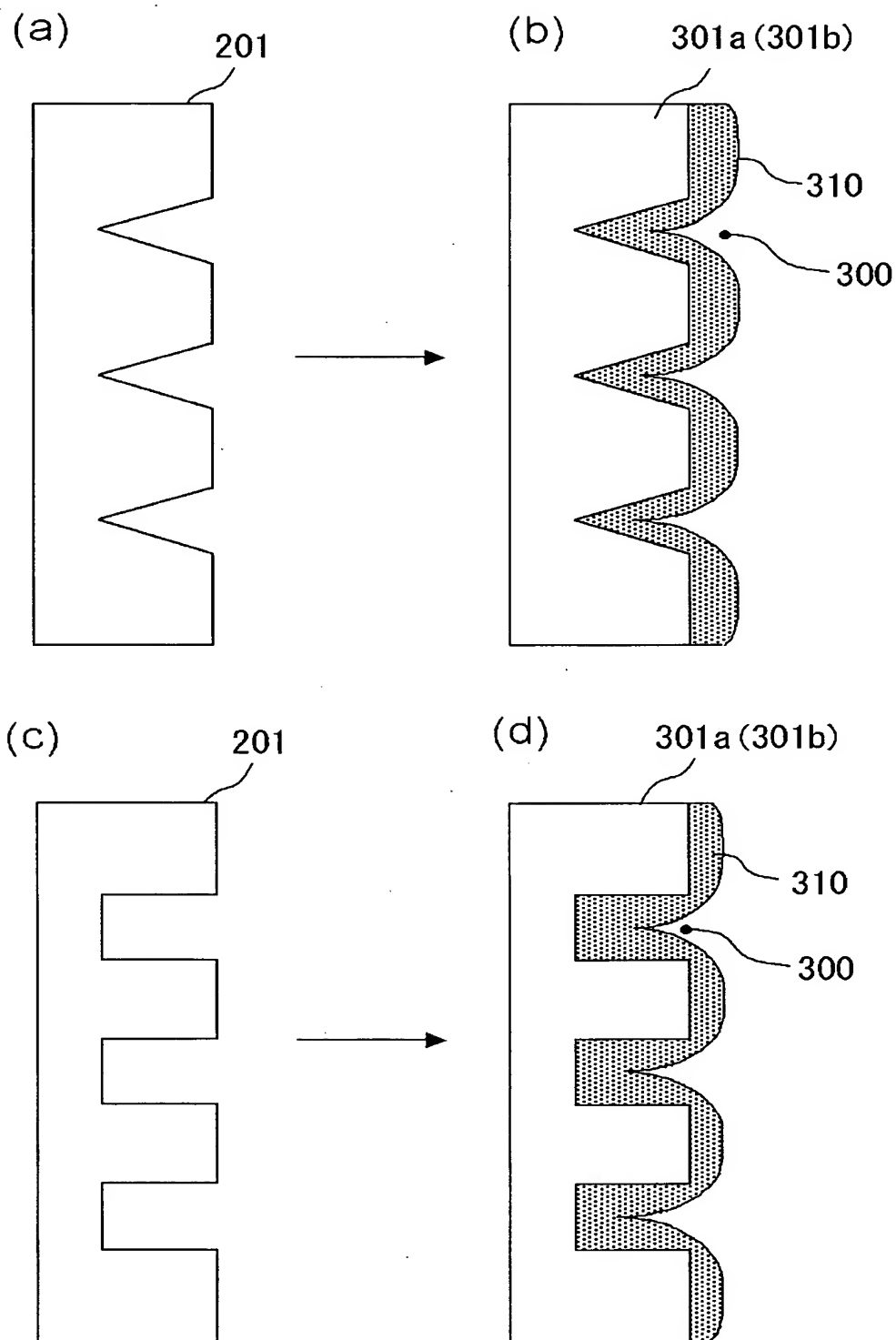
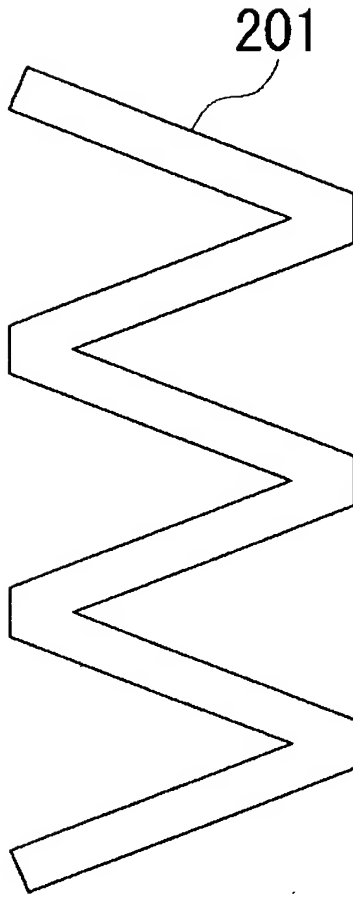


FIG. 18
(a)



(b)

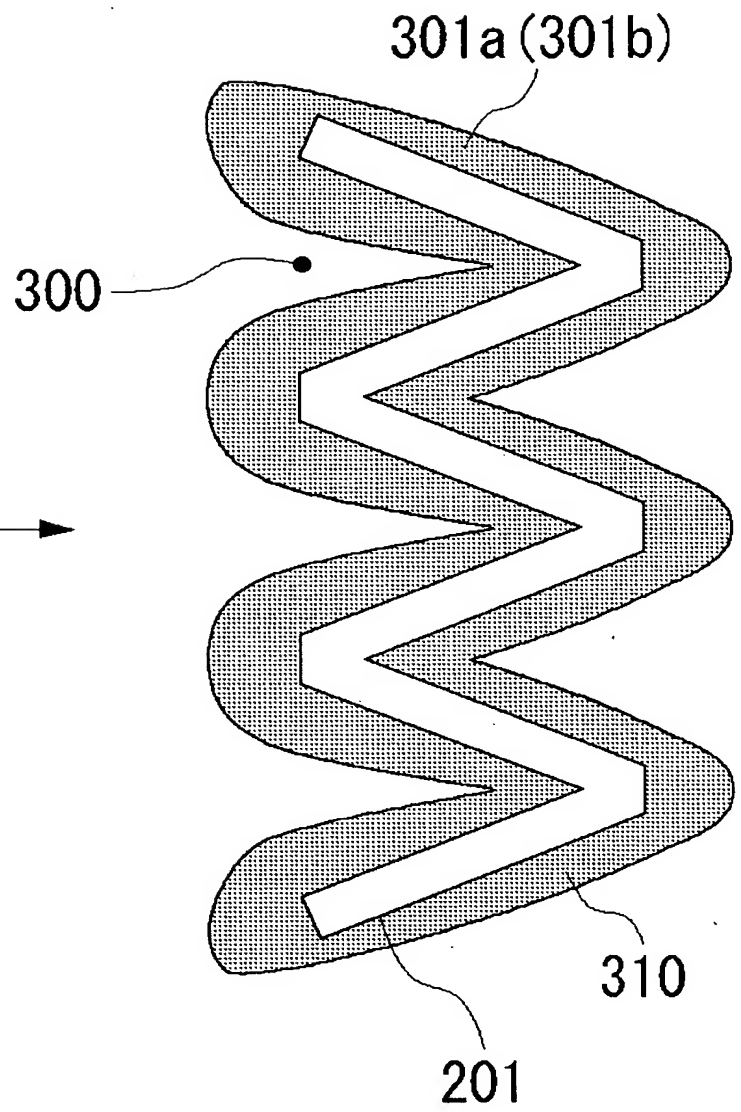
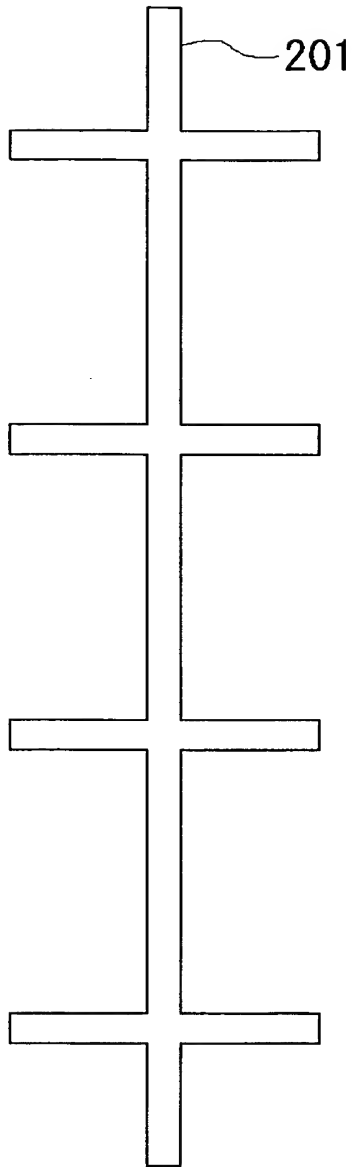


FIG. 19

(a)



(b)

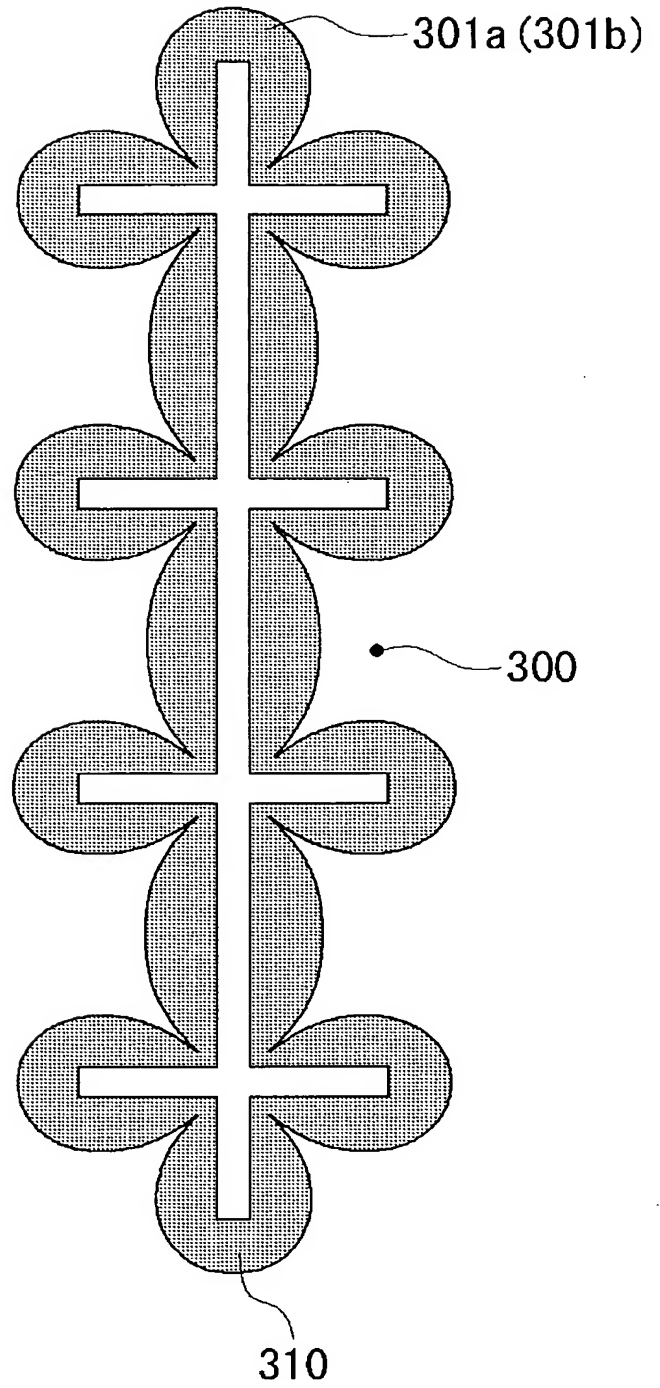


FIG. 20

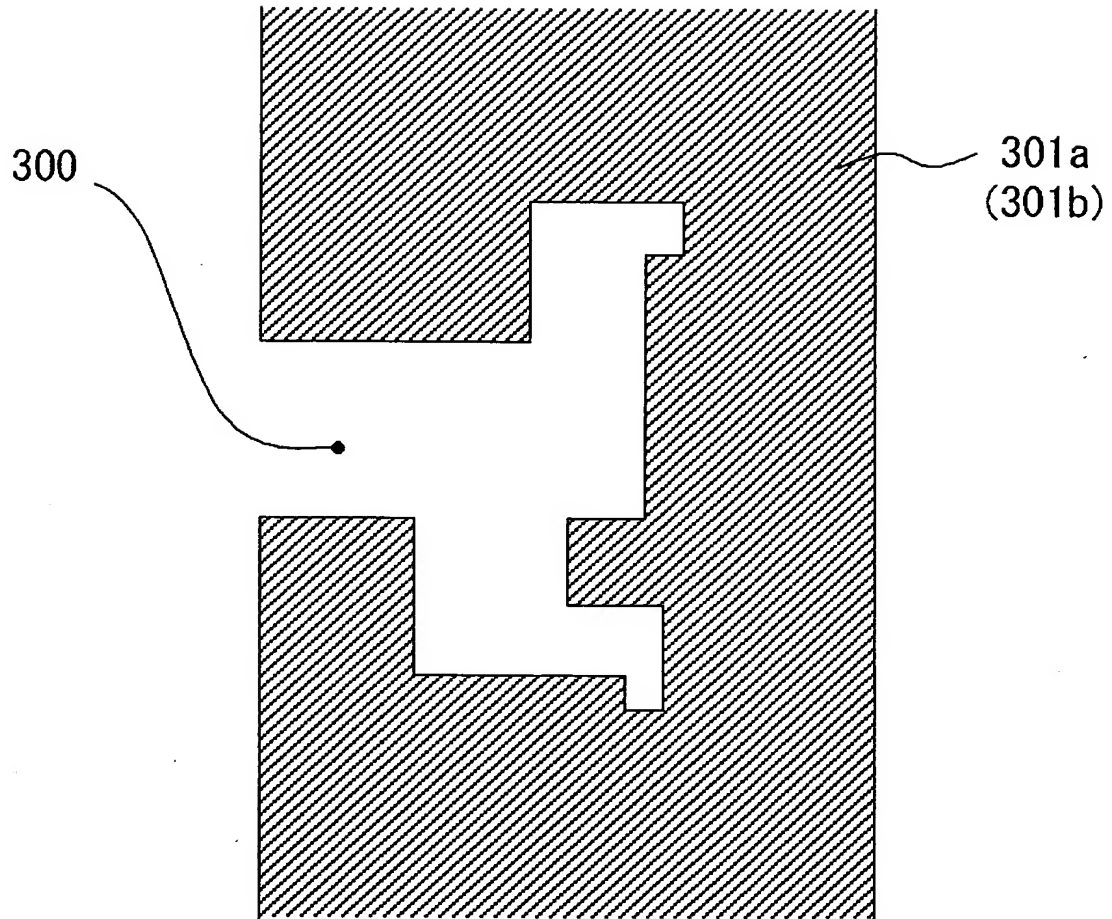


FIG. 21

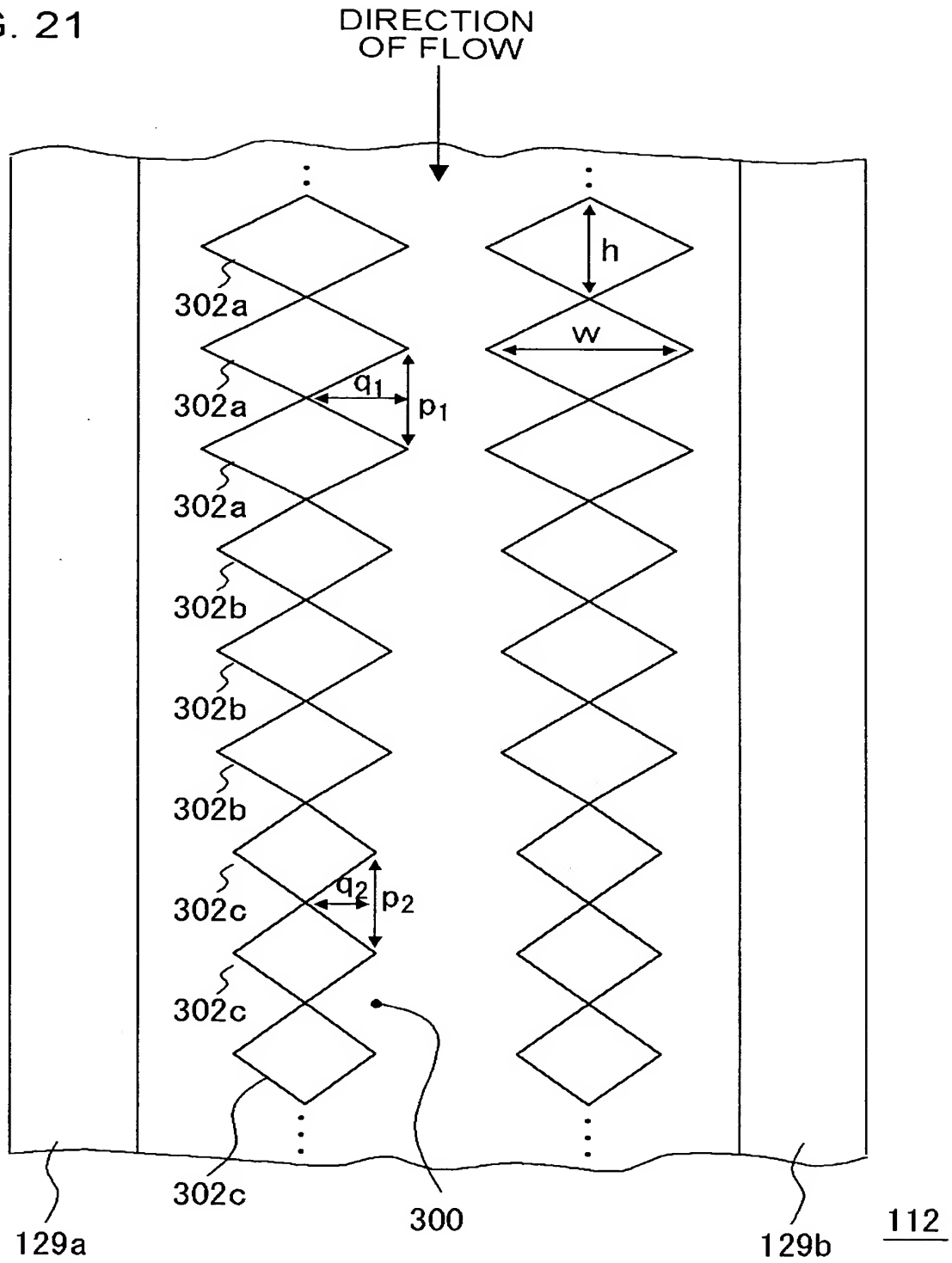


FIG. 22

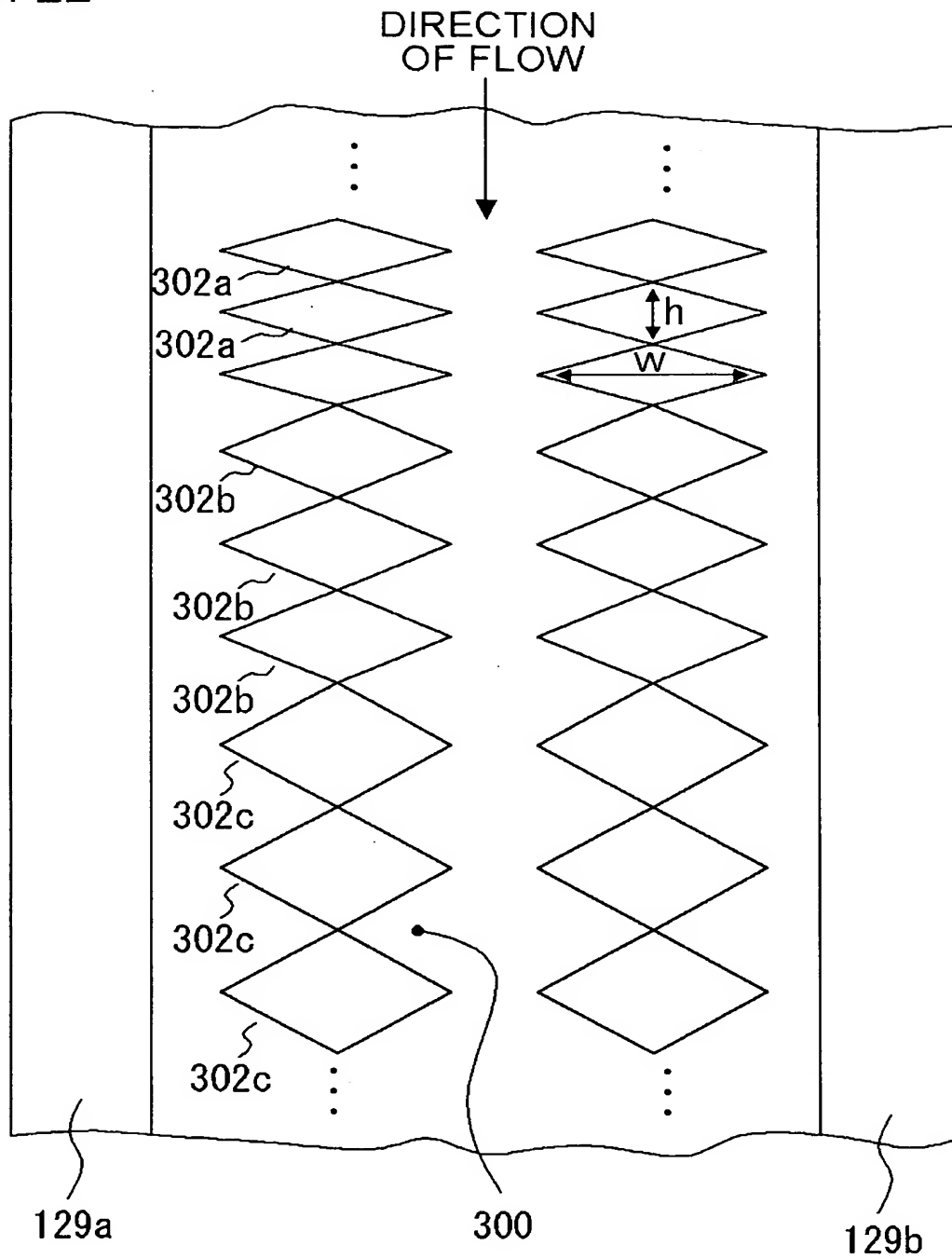


FIG. 23

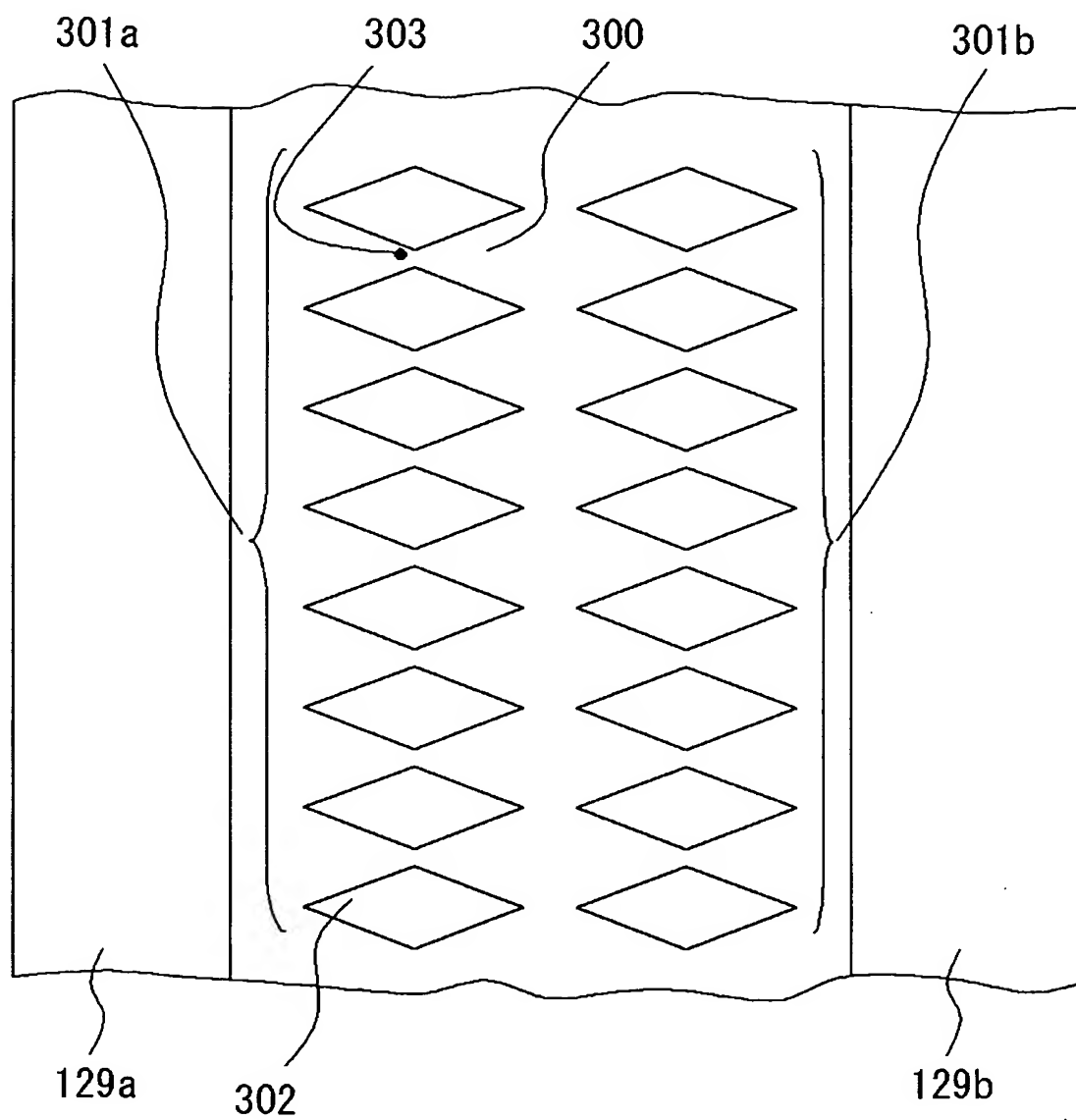


FIG. 24

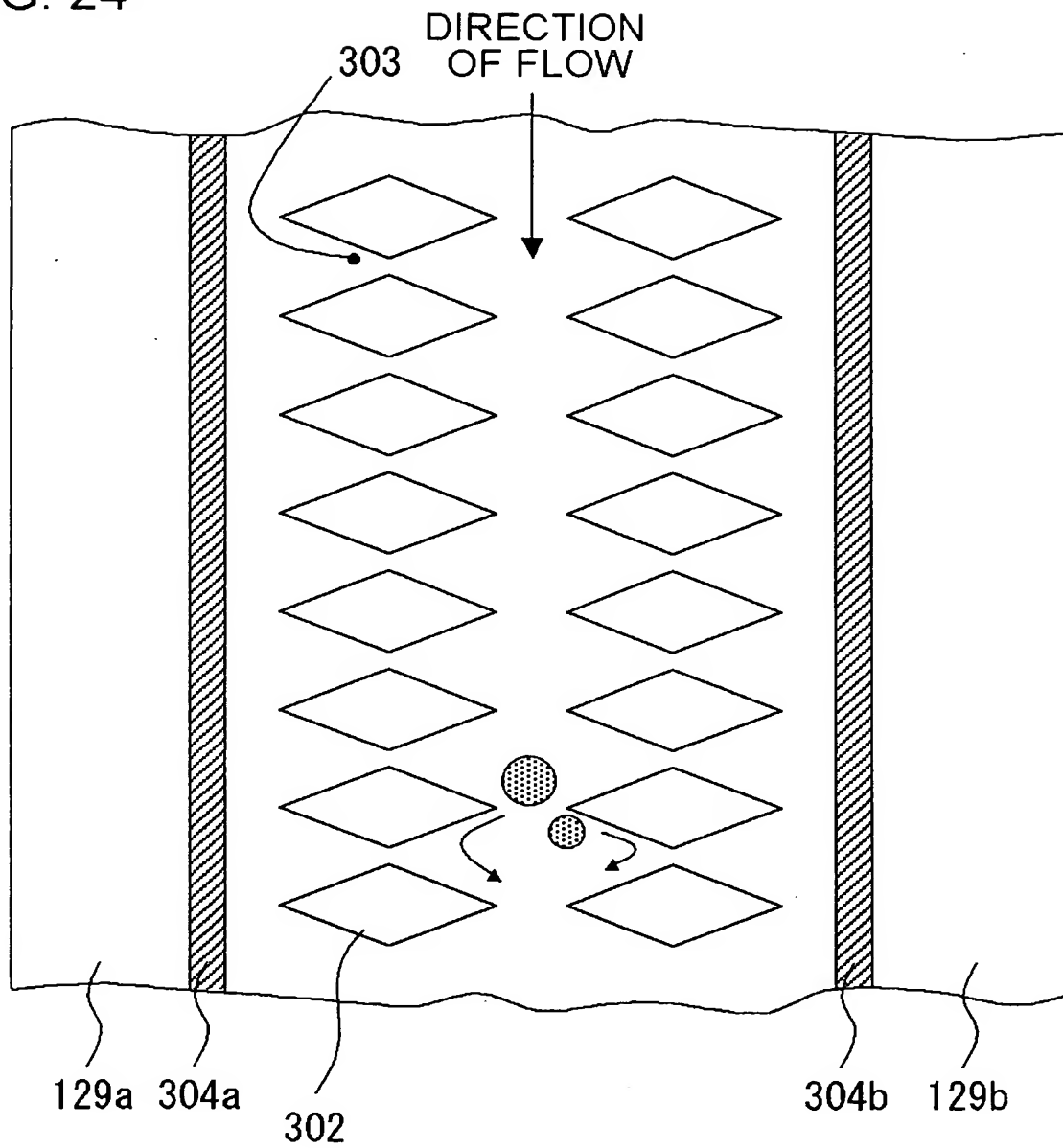


FIG. 25

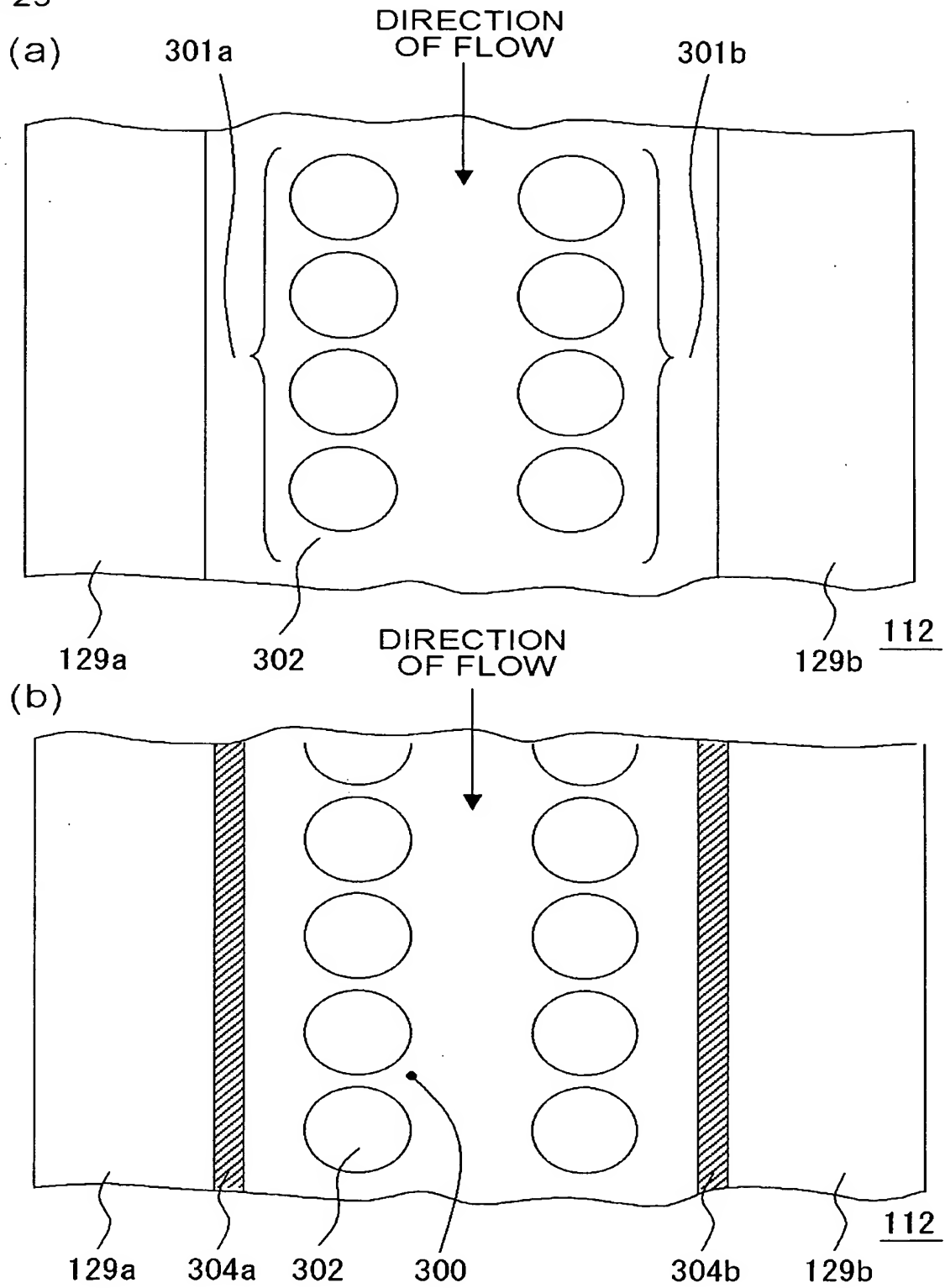
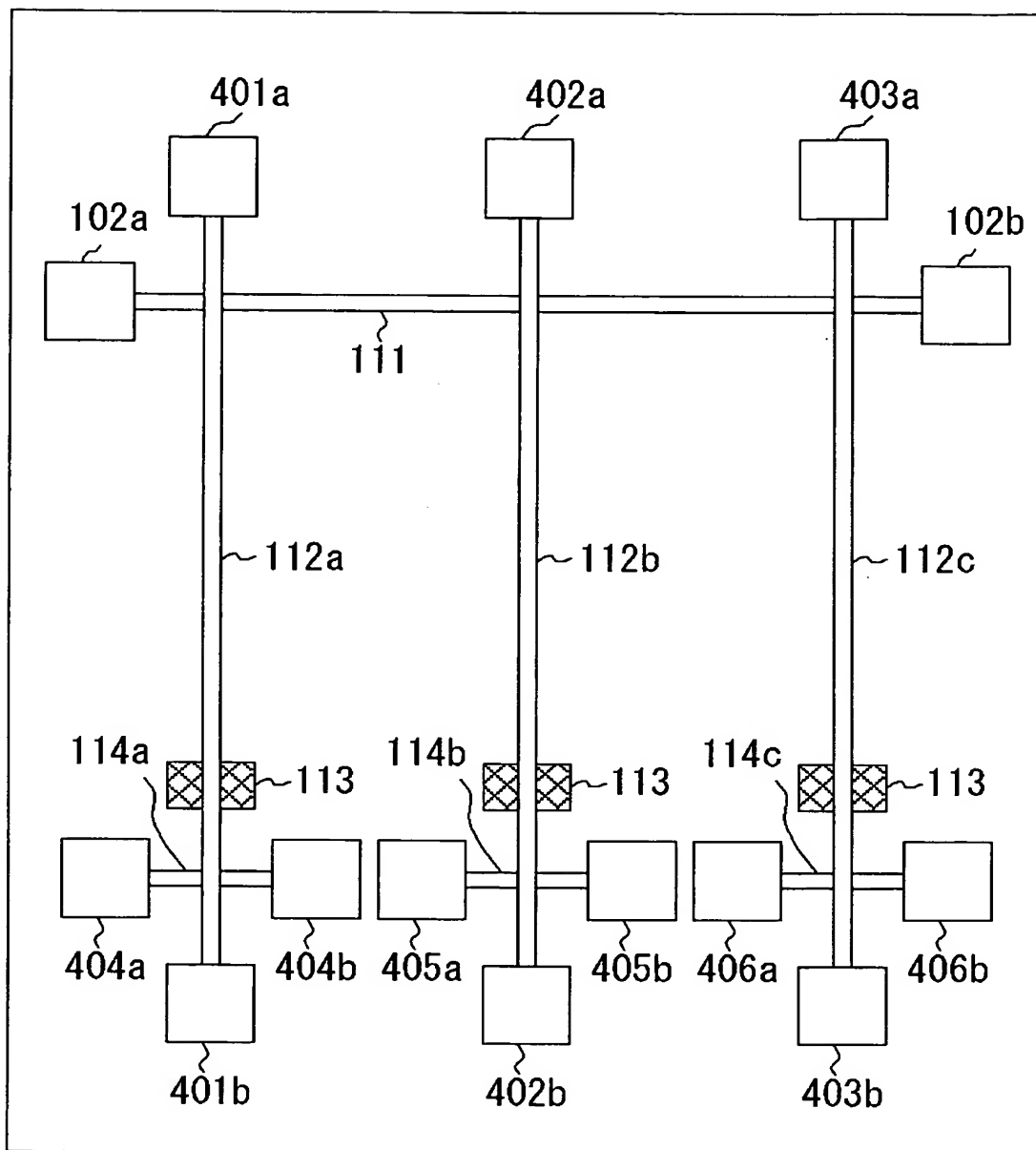


FIG. 26



100

FIG. 27

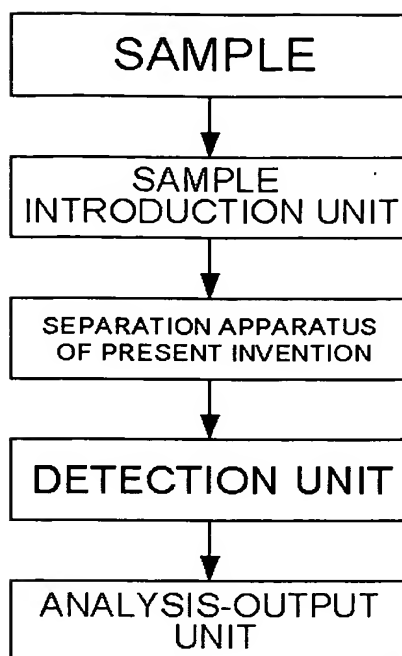


FIG. 28

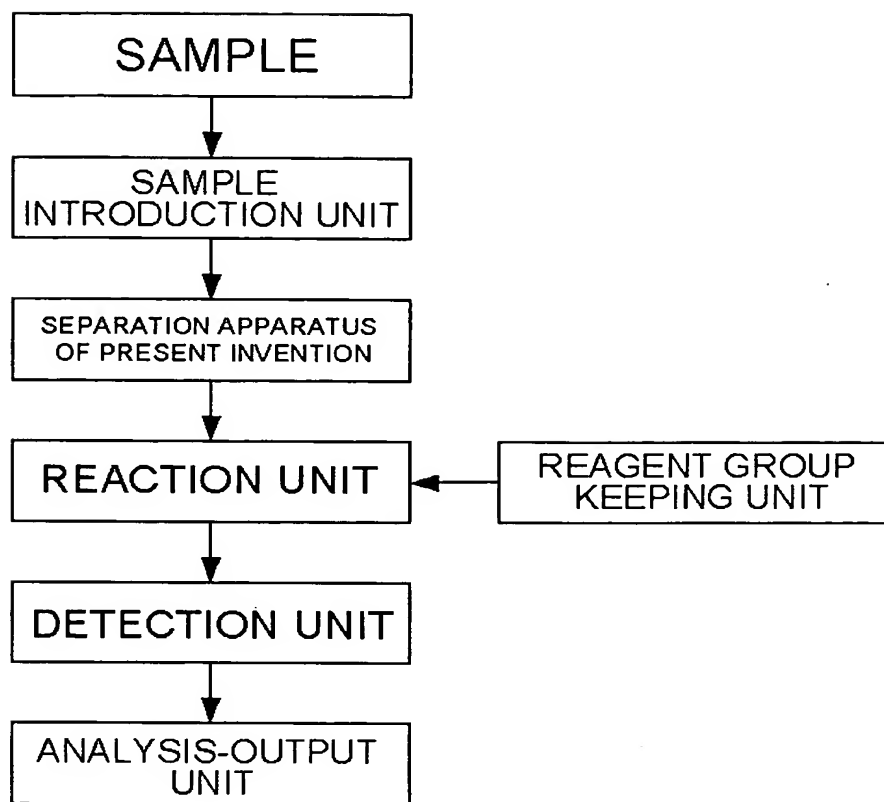


FIG. 29

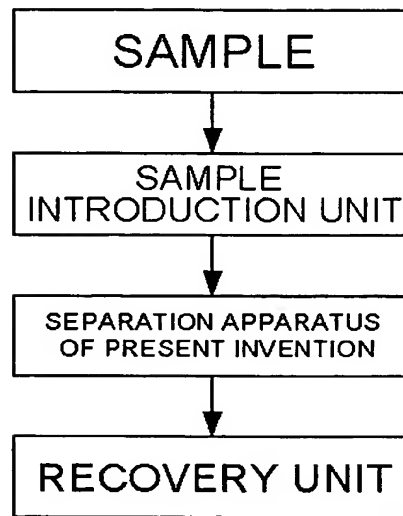


FIG. 30

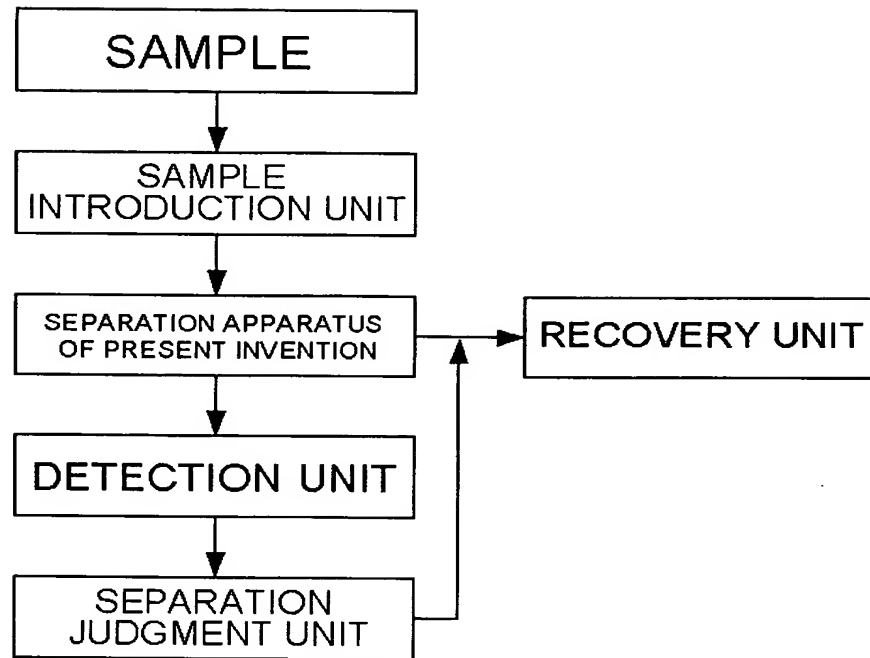


FIG. 31

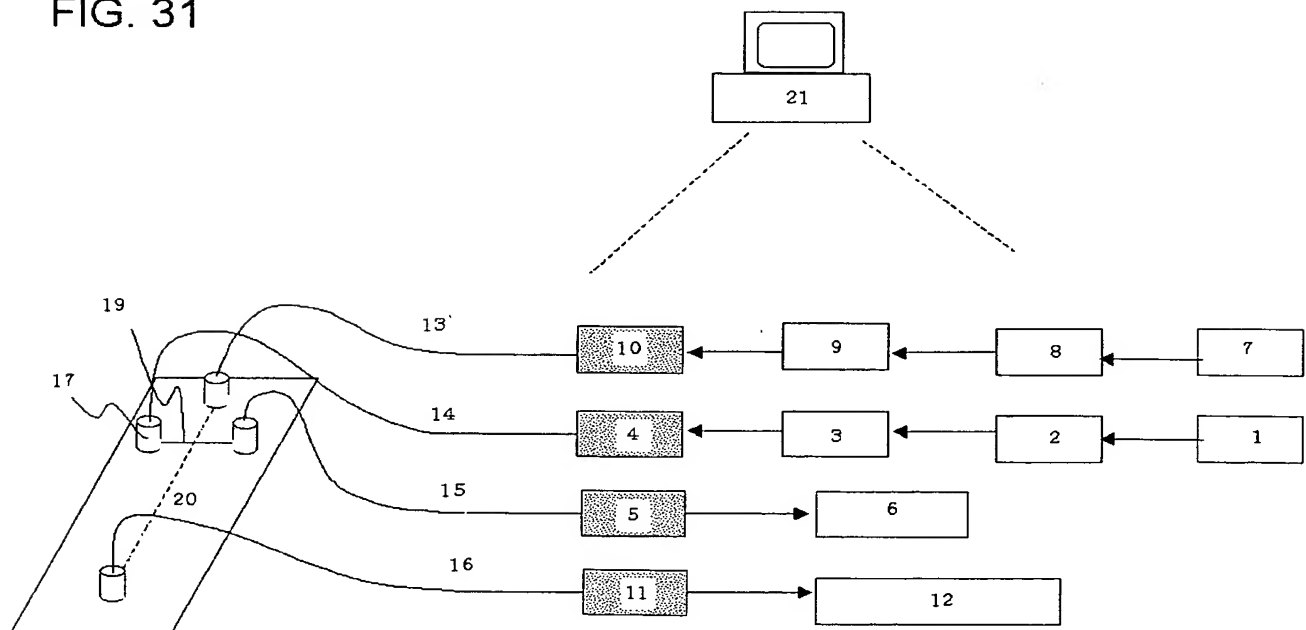
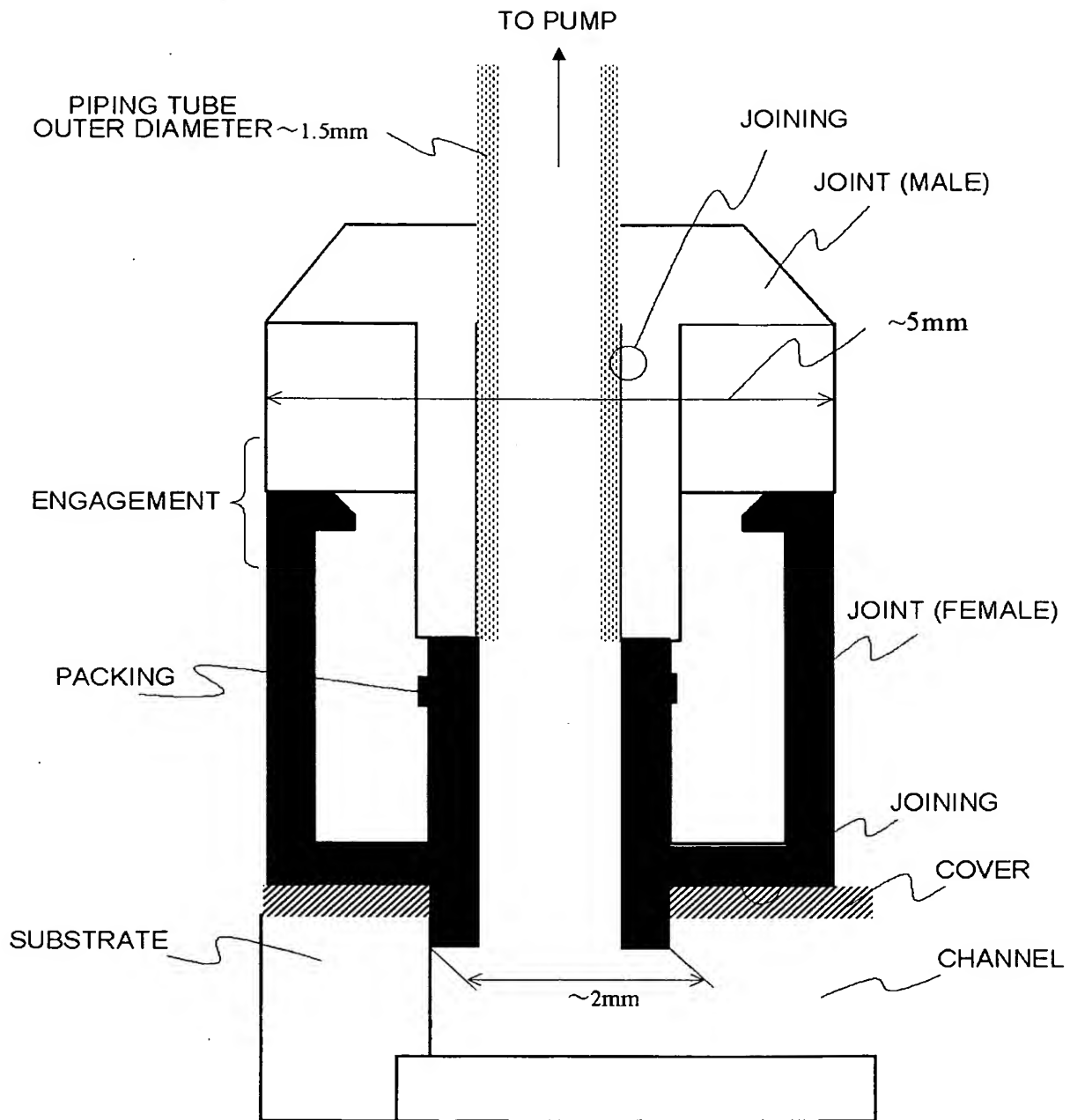
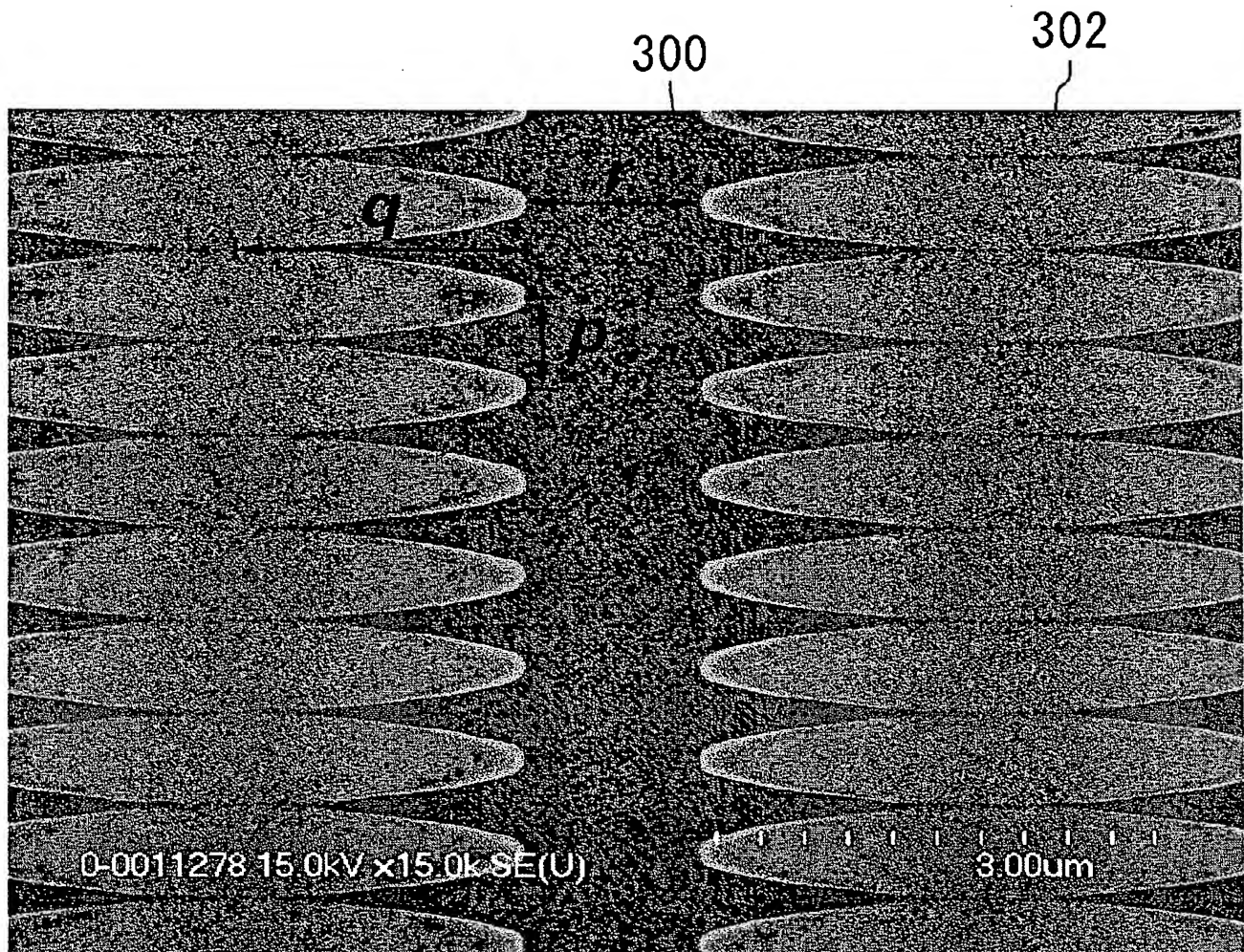


FIG. 32



BEST AVAILABLE COPY

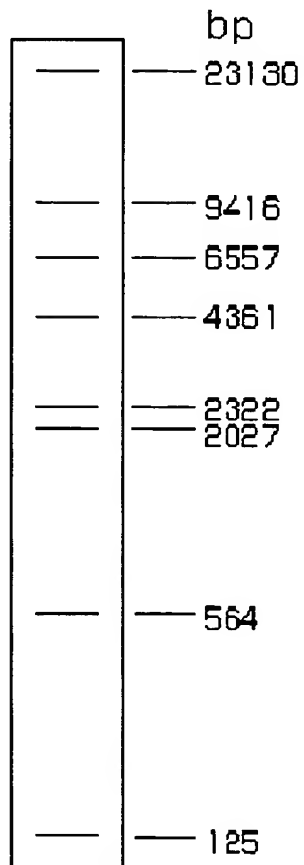
FIG. 33

112

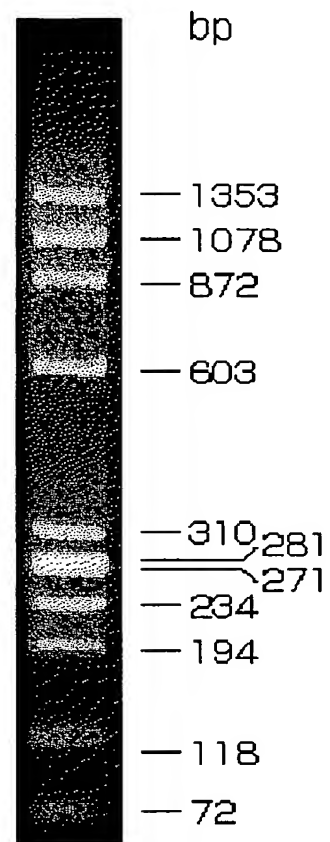
BEST AVAILABLE COPY

FIG. 34

(a)

 λ -Hind III digest

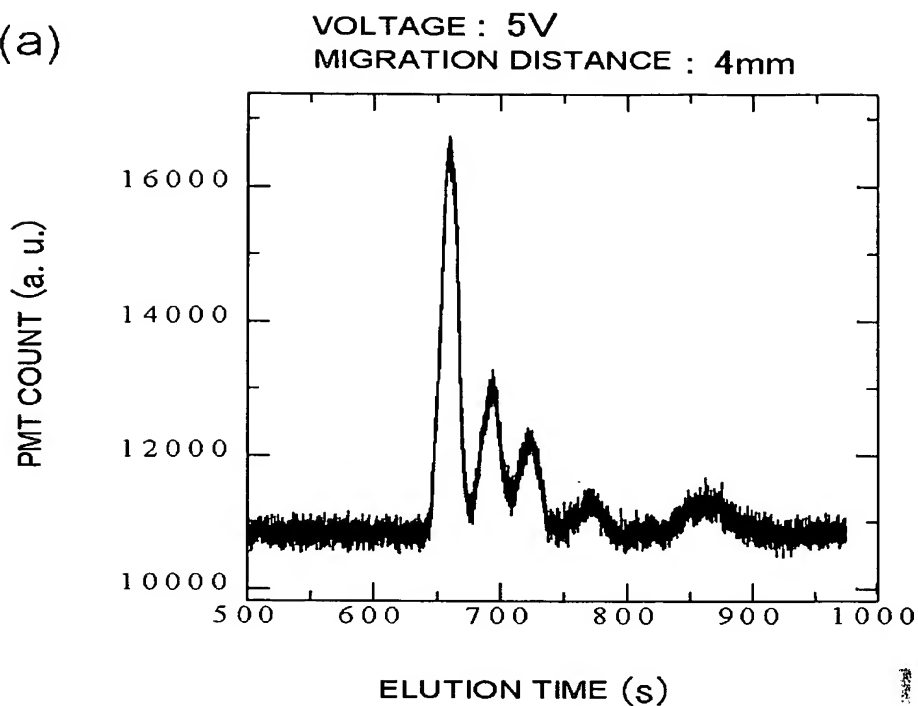
(b)

 ϕ X174 Hae III digest

BEST AVAILABLE COPY

FIG. 35

(a)



(b)

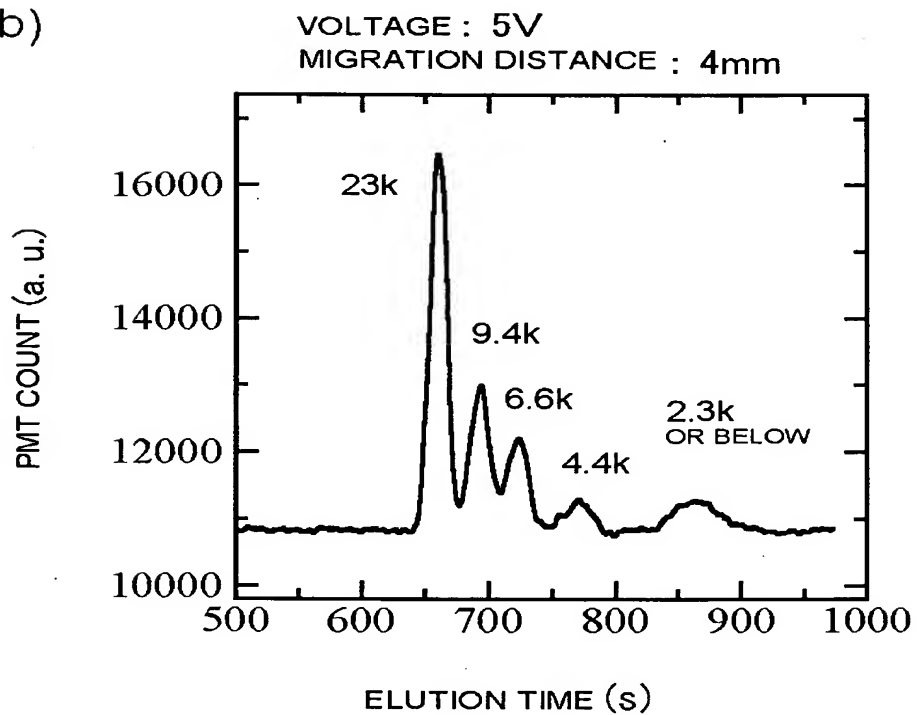
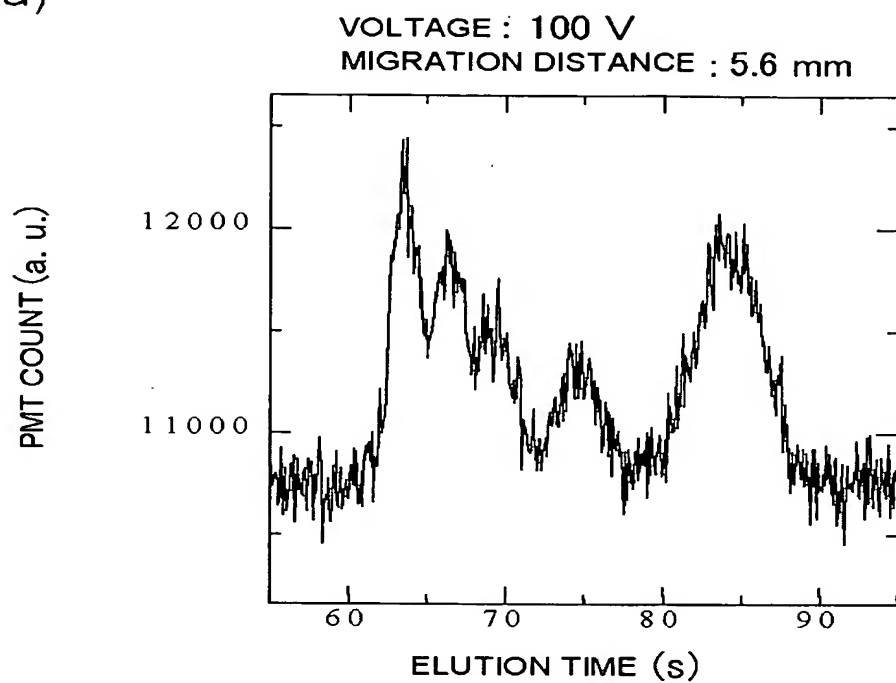


FIG. 36

(a)



(b)

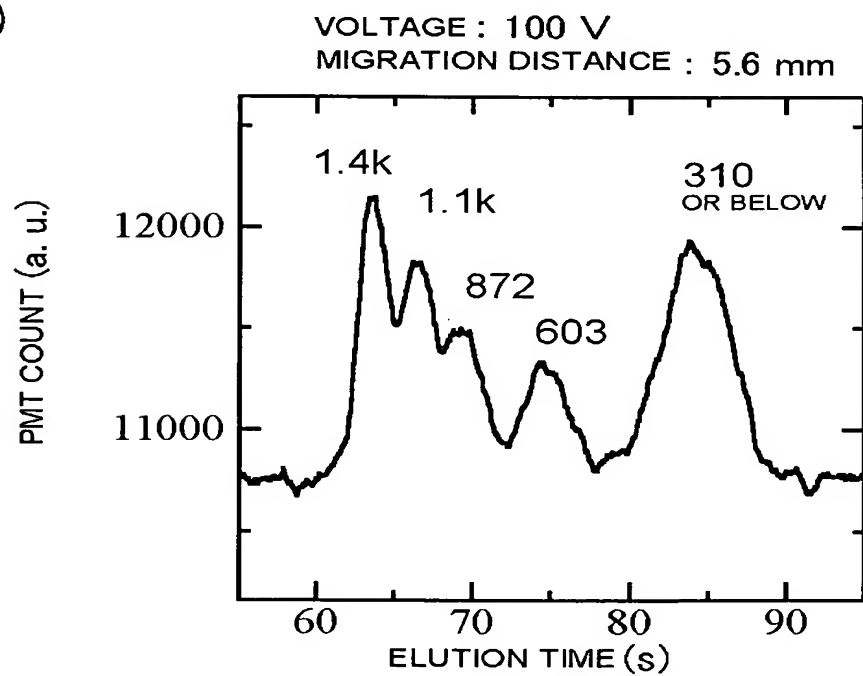
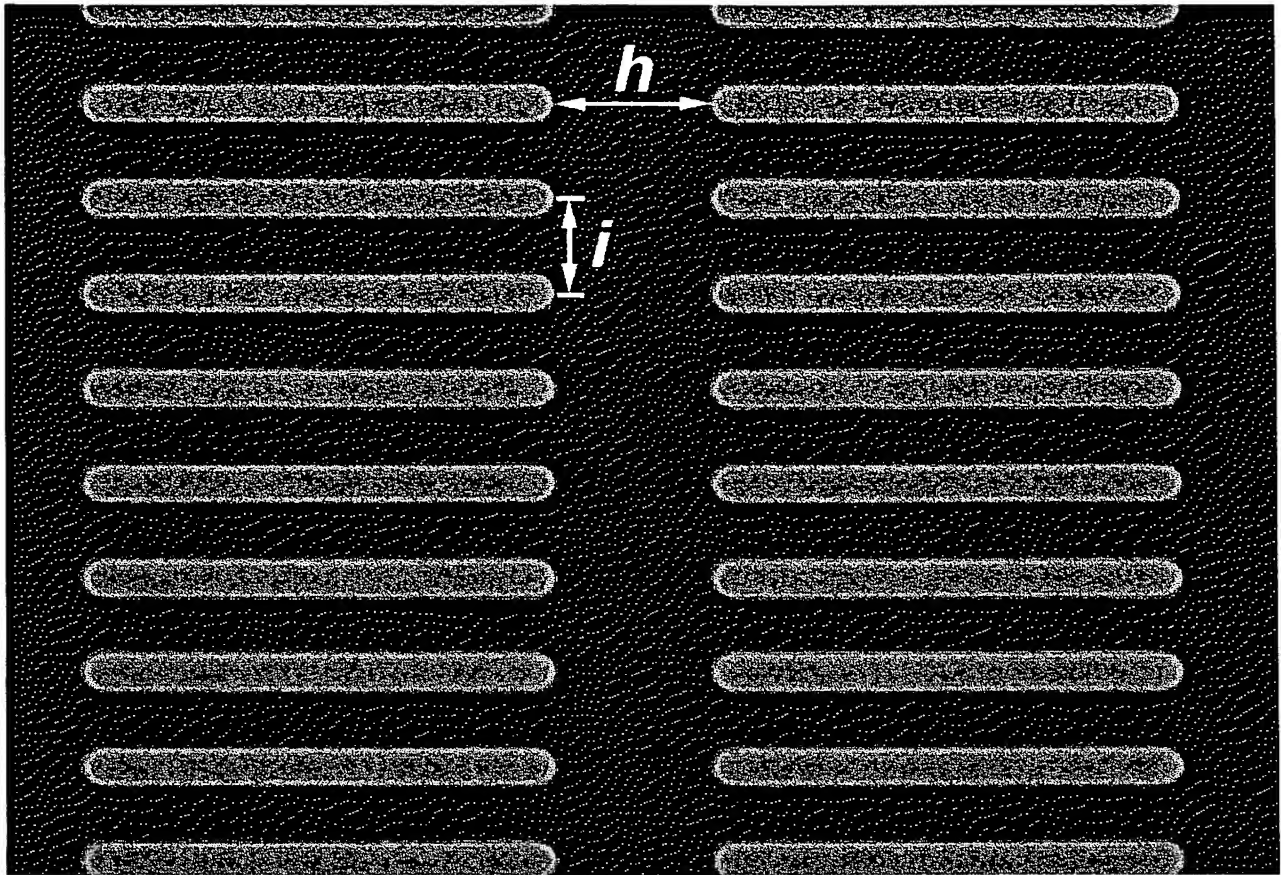


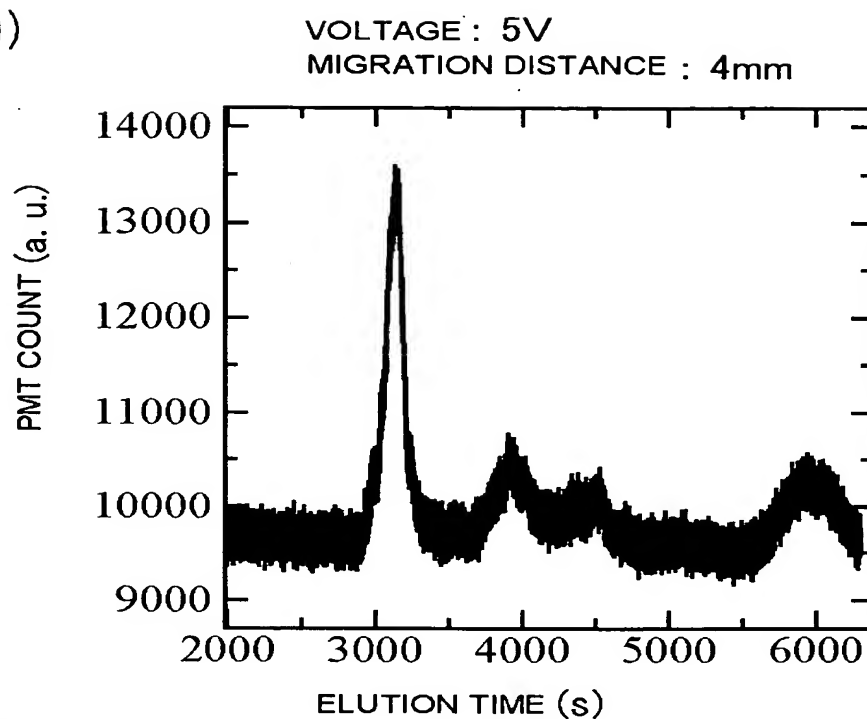
FIG. 37



BEST AVAILABLE COPY

FIG. 38

(a)



(b)

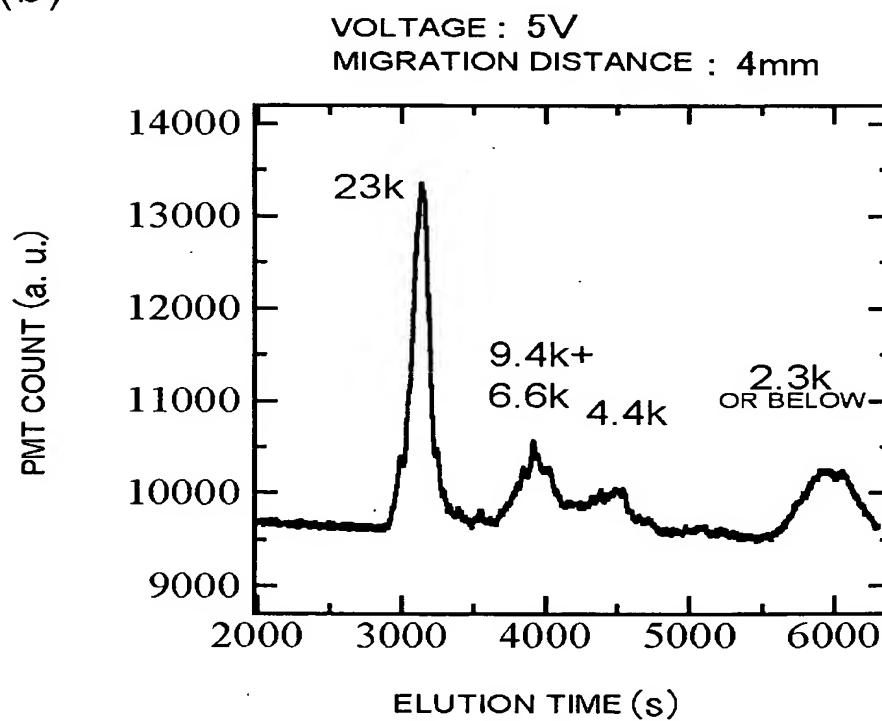
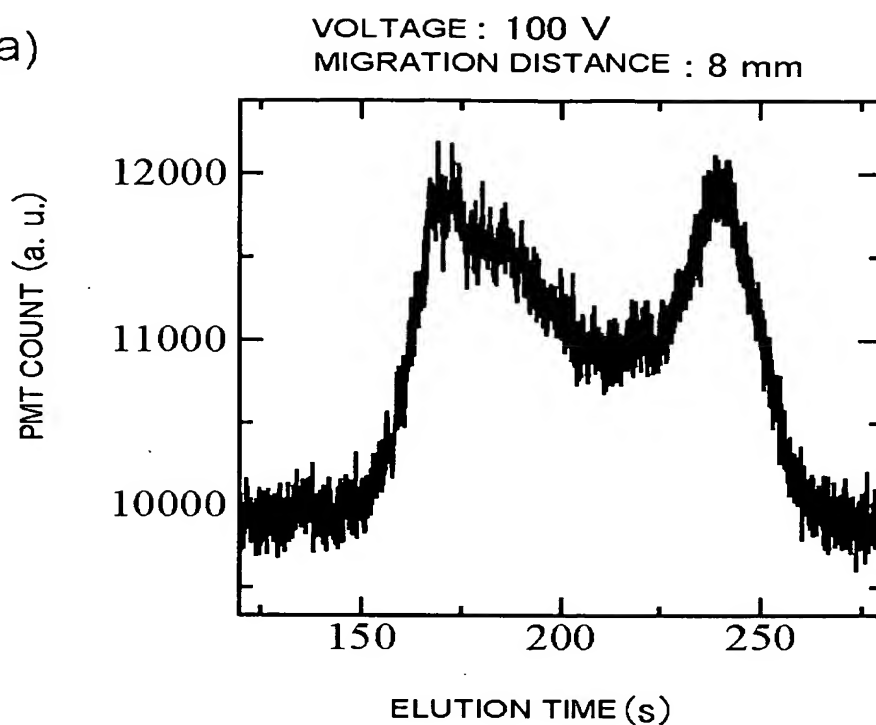


FIG. 39

(a)



(b)

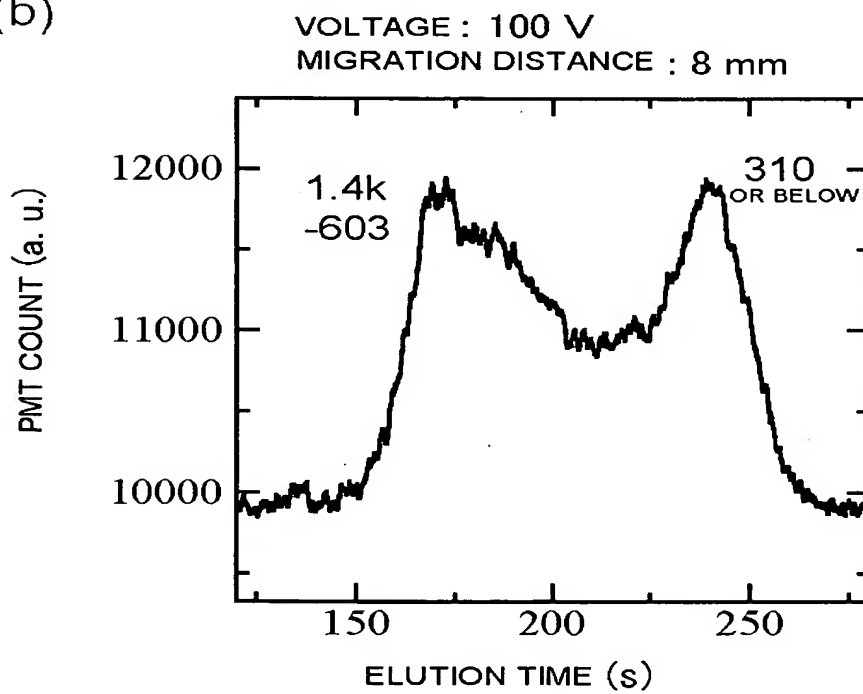


FIG. 40

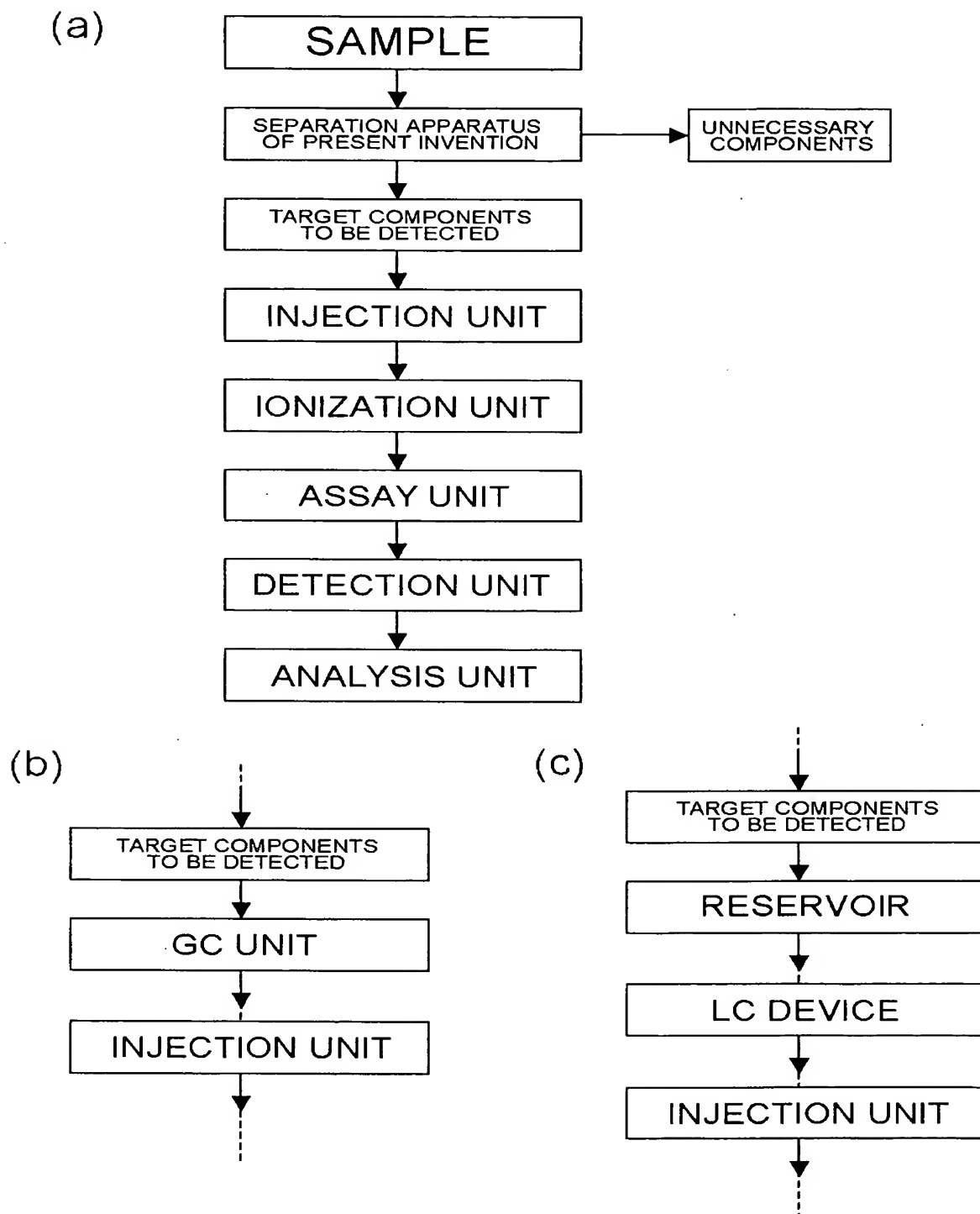
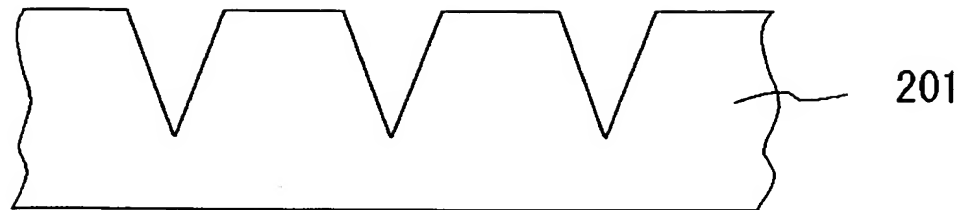


FIG. 41

(a)



(b)

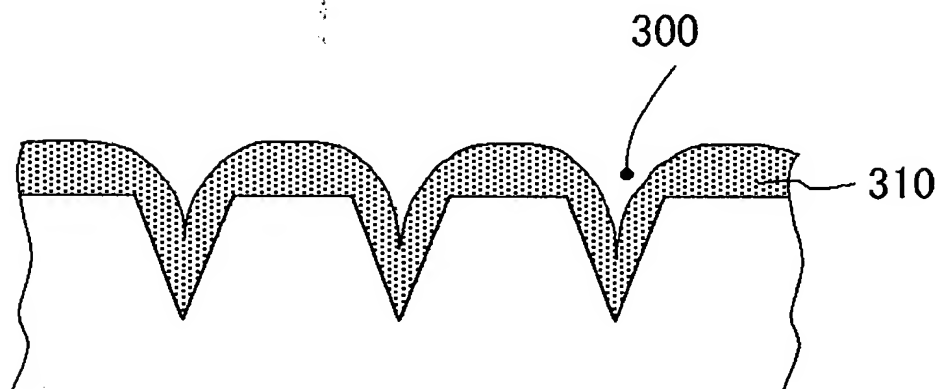
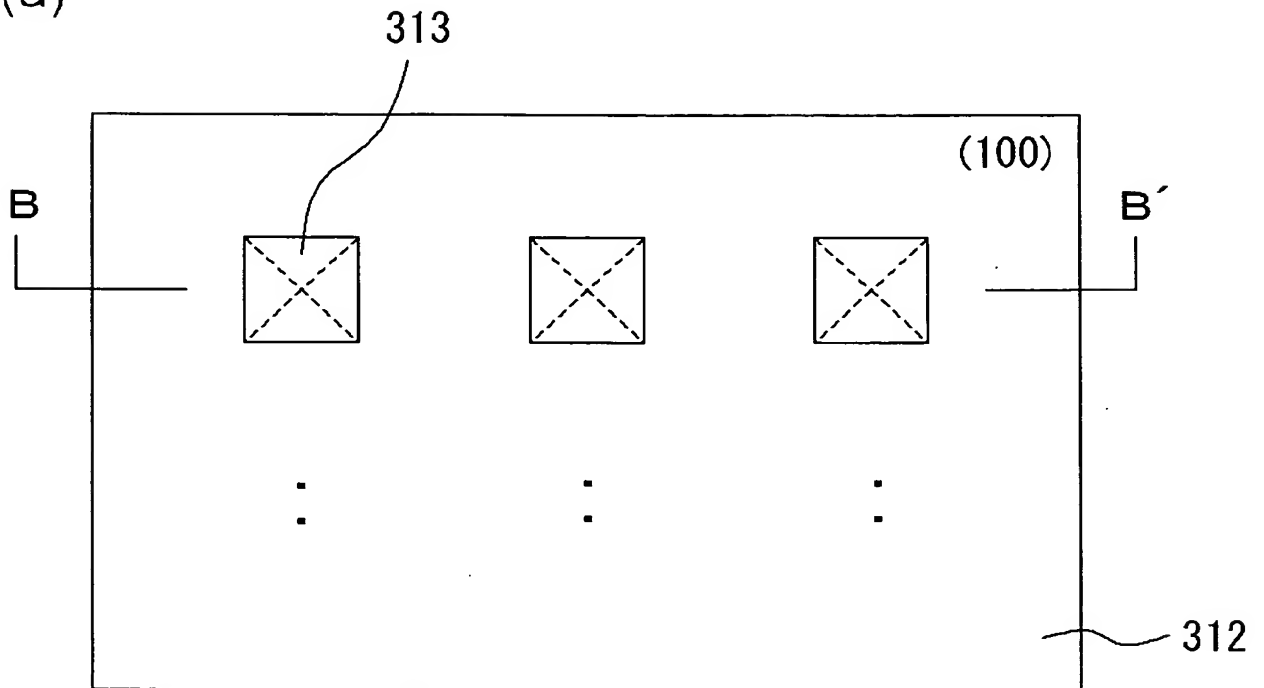


FIG. 42

(a)



(b)

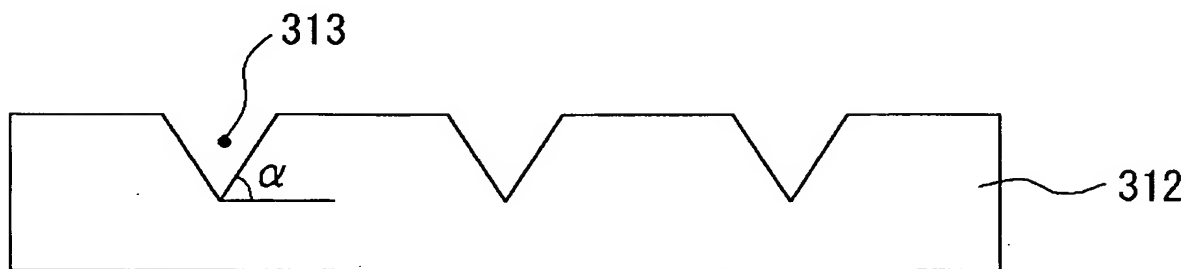


FIG. 43

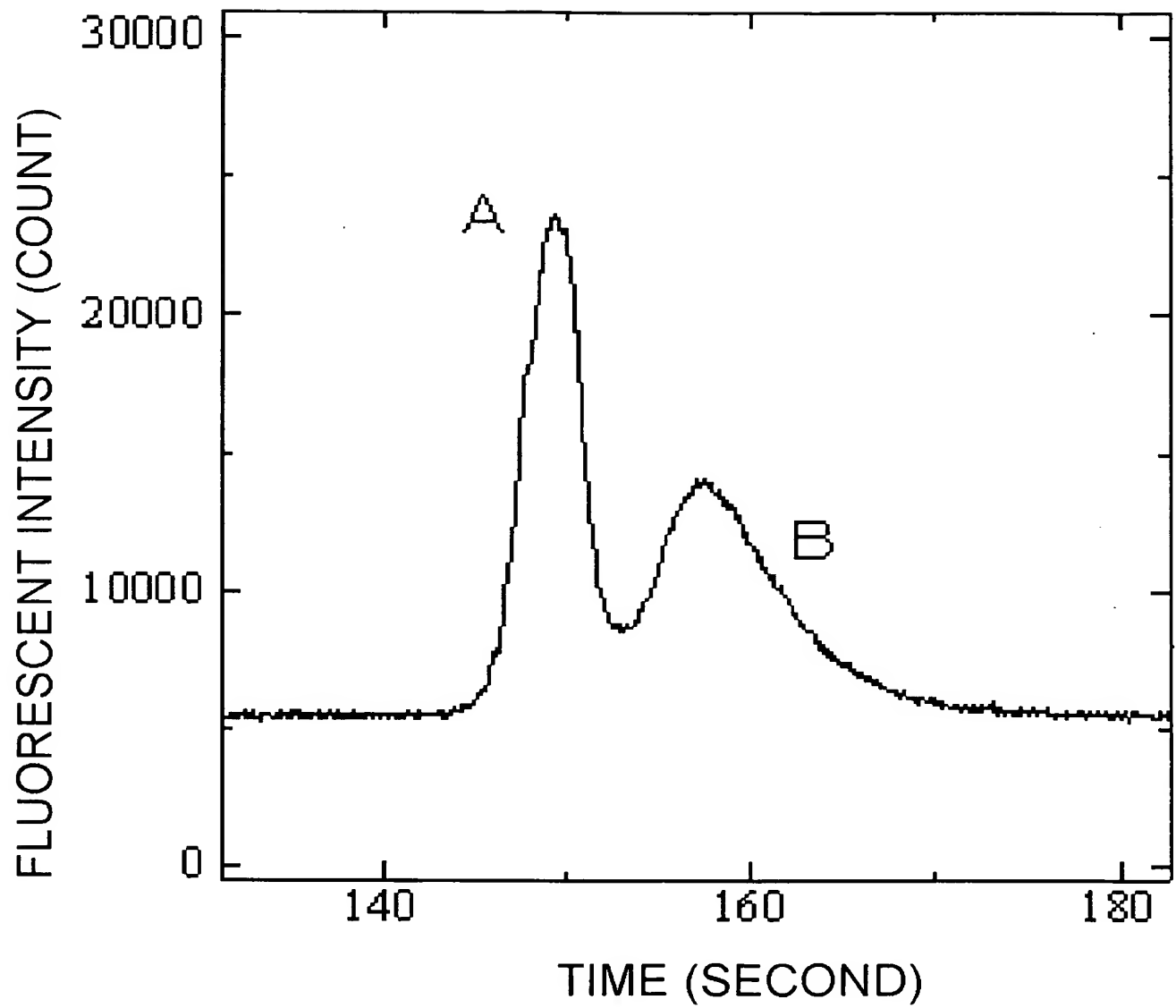
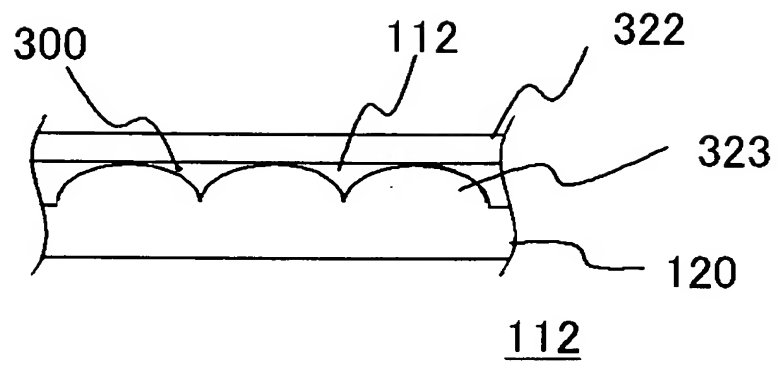


FIG. 44

(a)



(b)

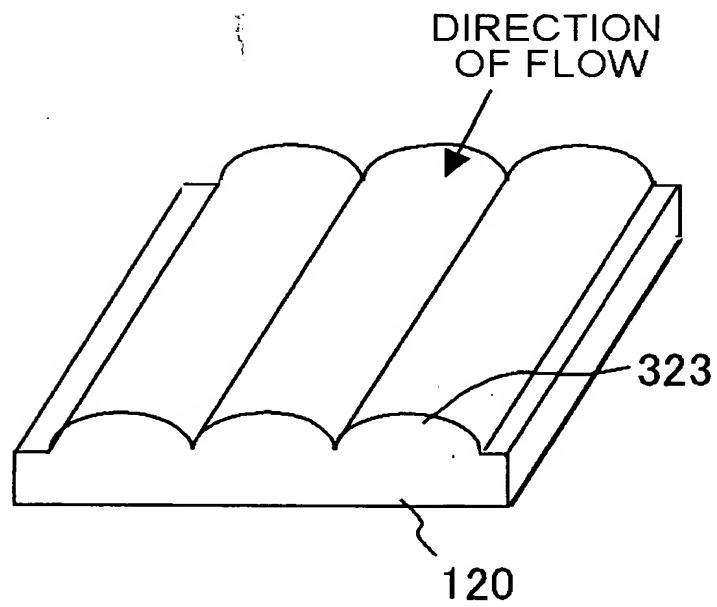


FIG. 45

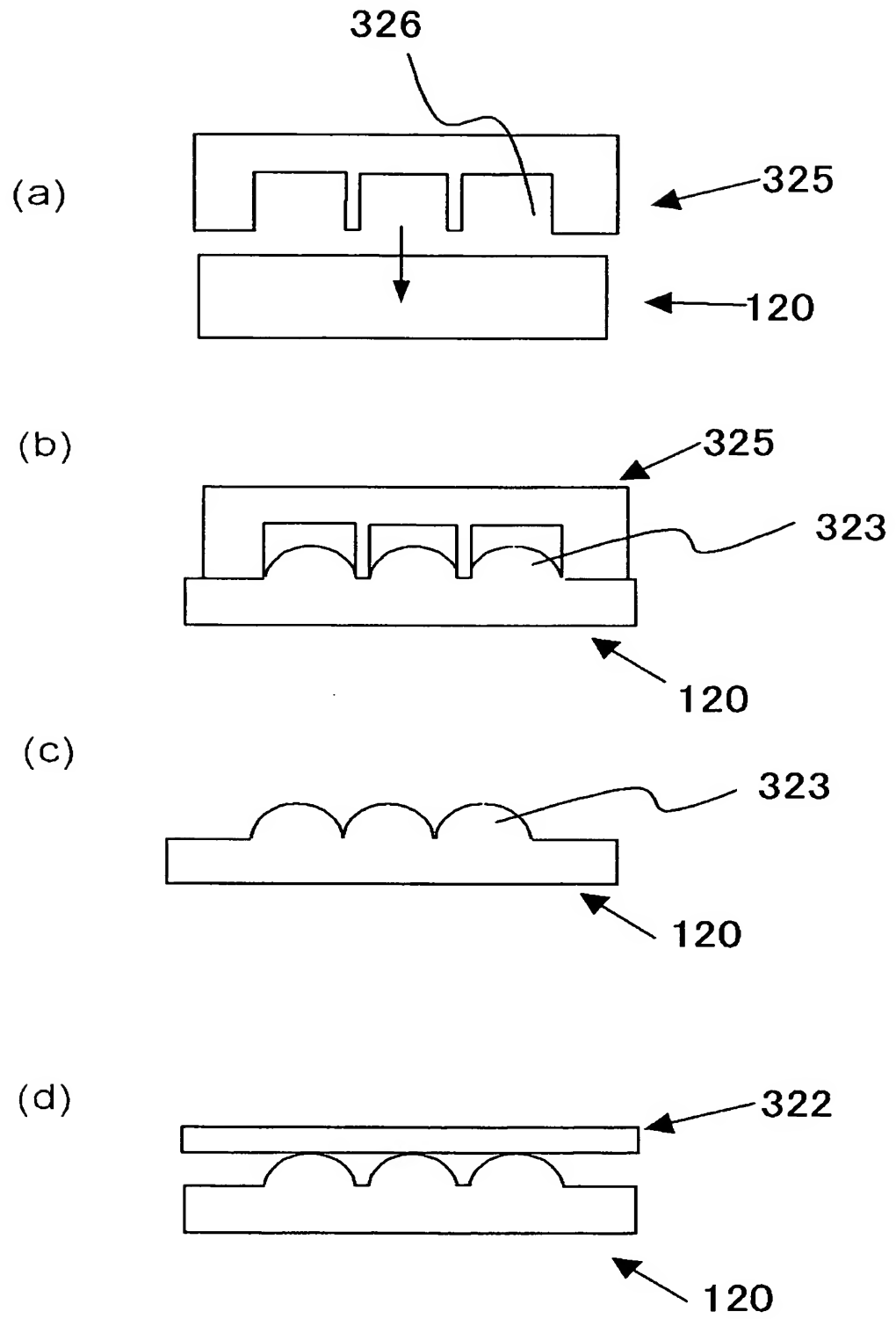


FIG. 46

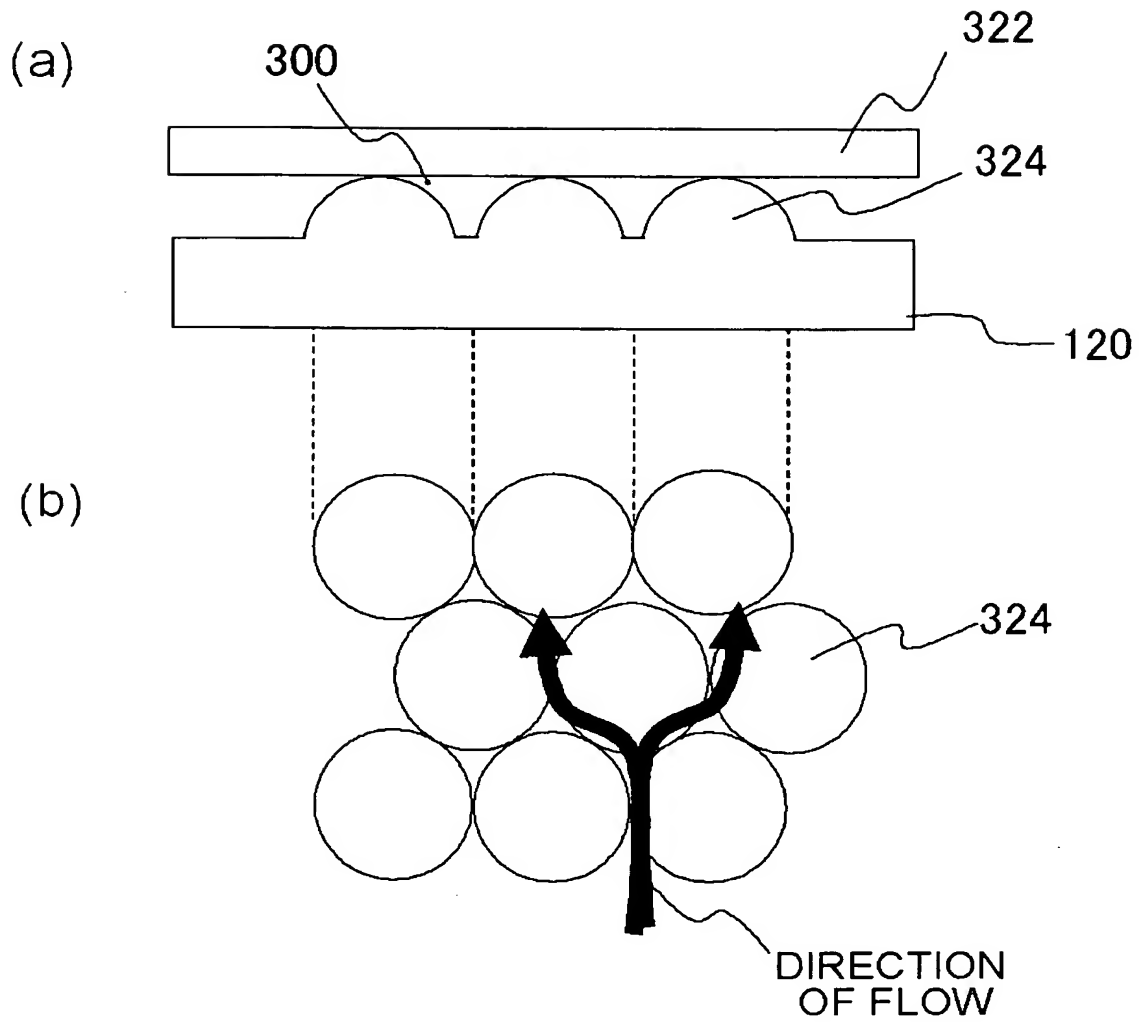


FIG. 47

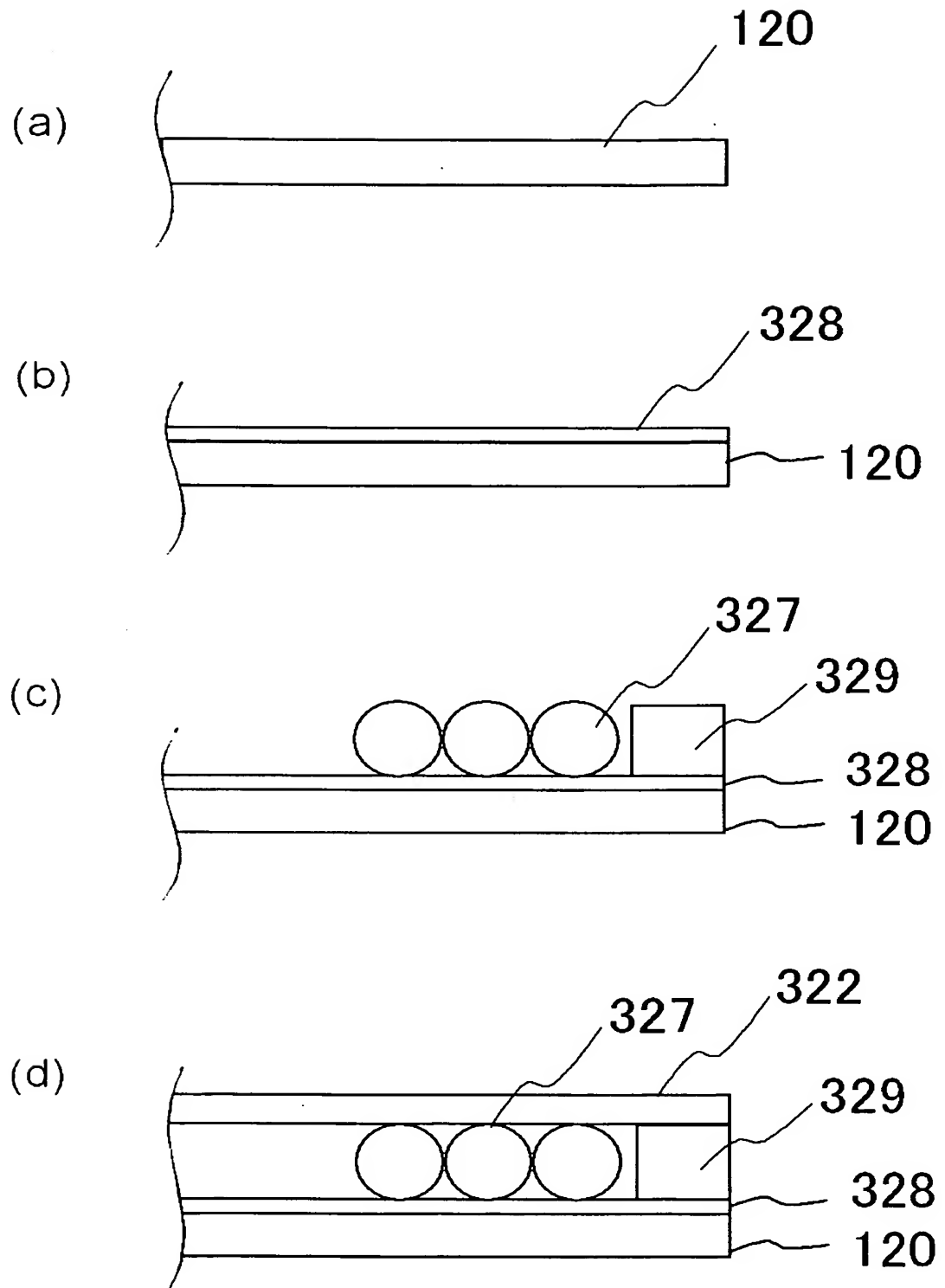


FIG. 48

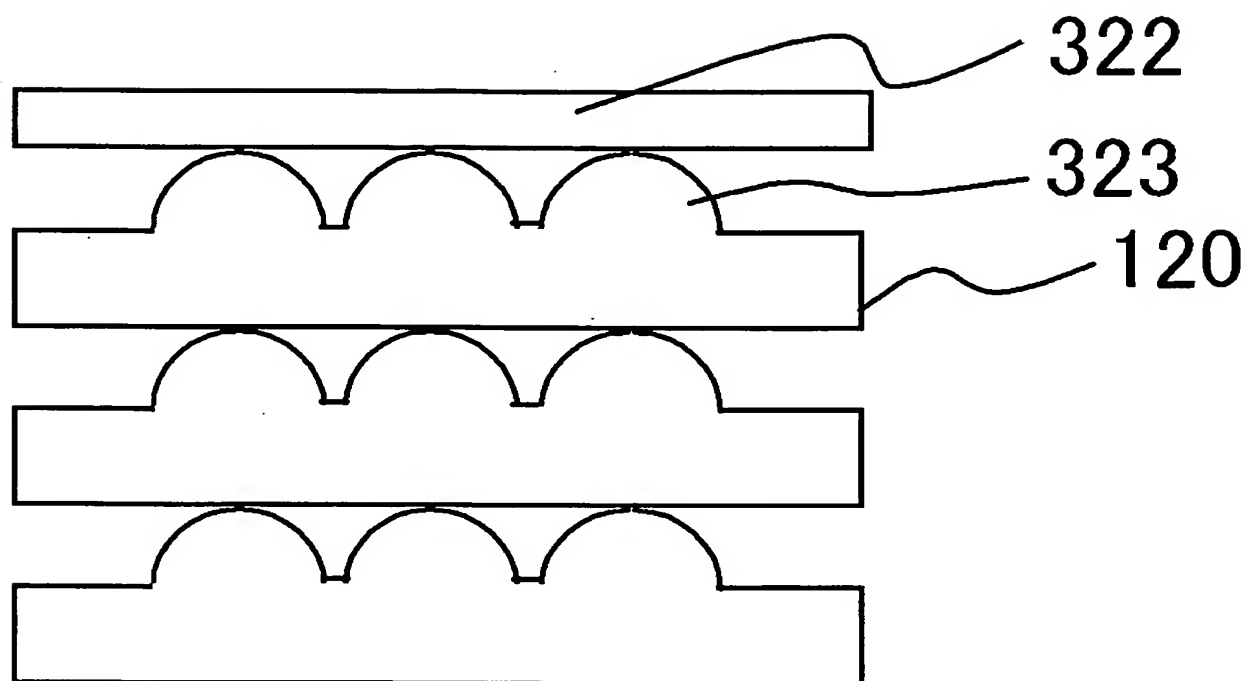


FIG. 49

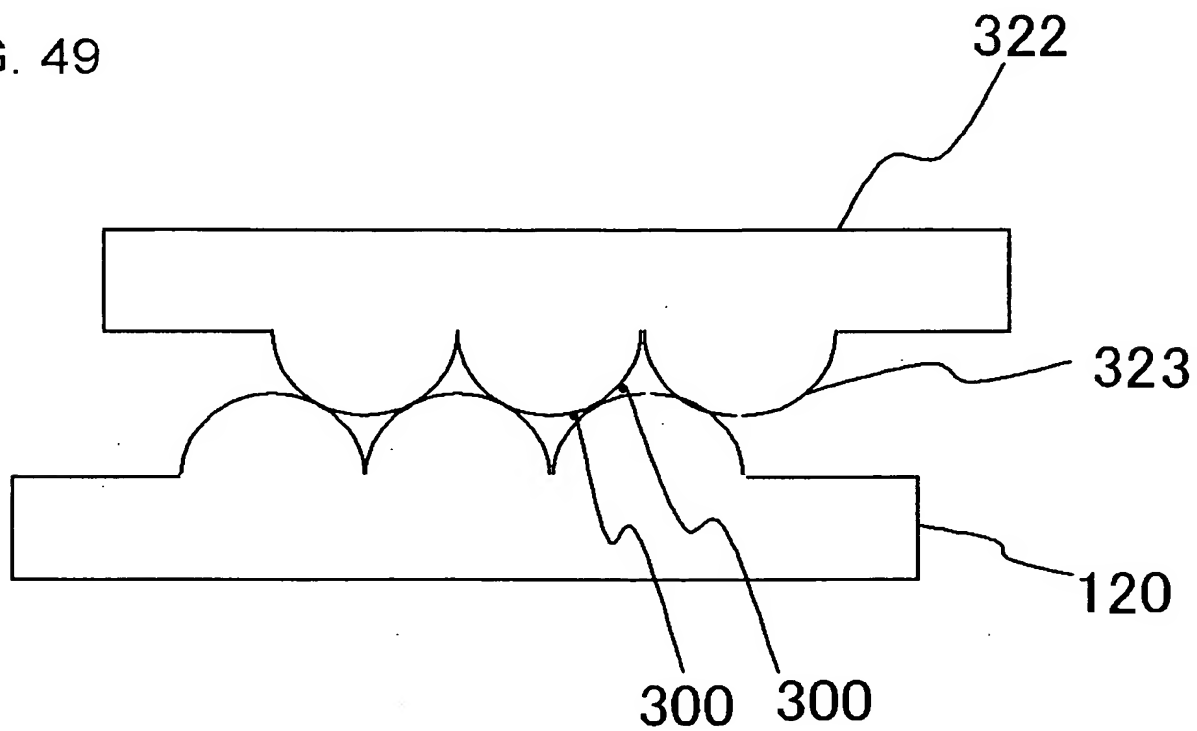


FIG. 50

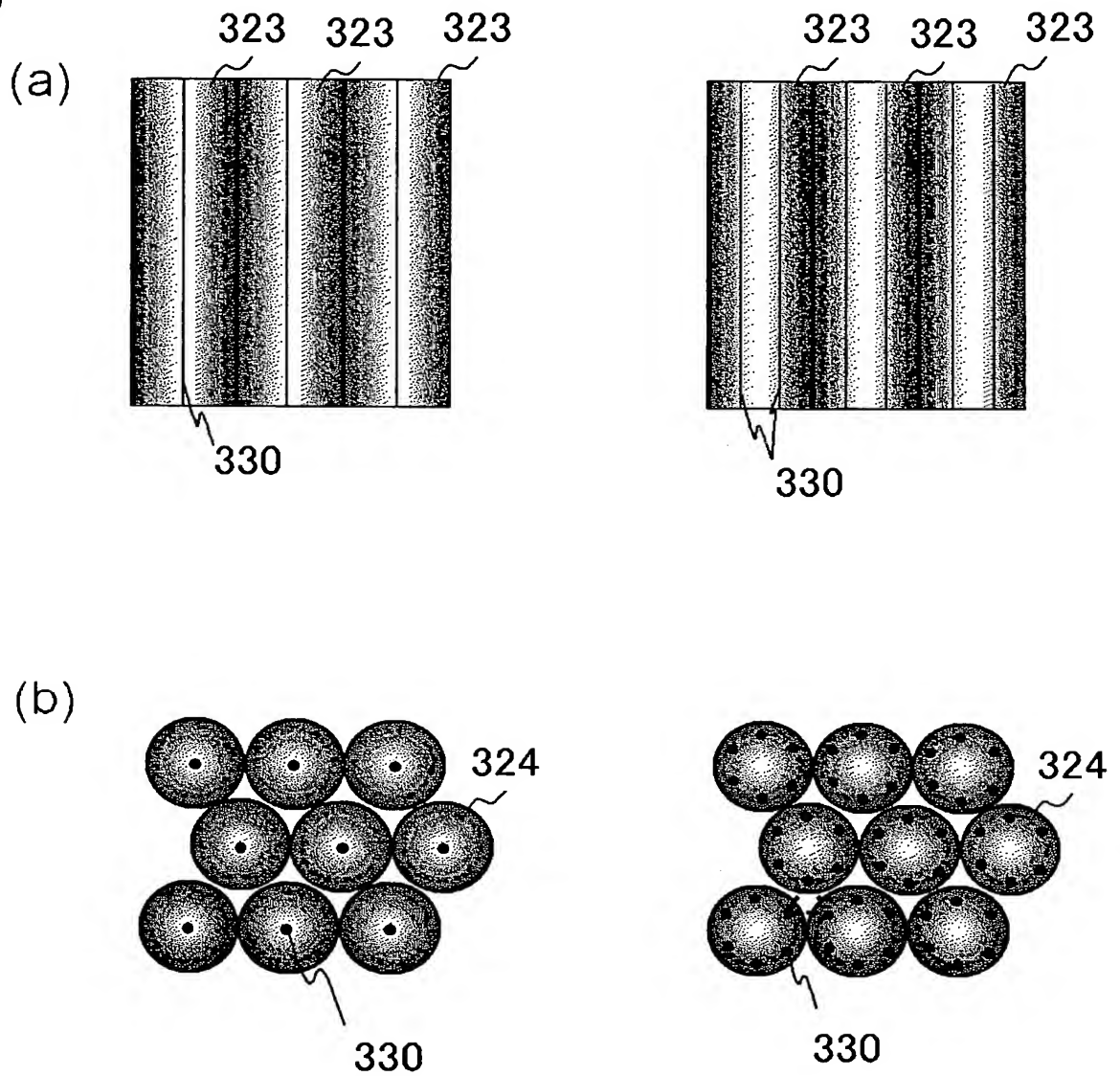


FIG. 51

